ФИЗИКА-ShQhuu-PHYSICS



НАЦИОНАЛЬНОЙ АКАДЕМИИ НАУК АРМЕНИИ

Начинальной академии наук армении

ՏԵՂԵԿԱԳԻՐ ՀԱՅԱՍՏԱՆԻ ԳԻՏՈՒԹՅՈՒՆՆԵՐԻ ԱՋԳԱՅԻՆ ԱԿԱՂԵՄԻԱՅԻ

PROCEEDINGS
OF NATIONAL ACADEMY OF SCIENCES OF ARMENIA

Журнал издается с 1966 г. Выходит 6 раз в год на русском, армянском и английском языках.

РЕДАКЦИОННАЯ КОЛЛЕГИЯ

Вл. М. Арутюнян, главный редактор

Э. Г. Шароян, зам. главного редактора

Вил. М. Арутюнян

А. А. Ахумян

Г. А. Вартапетян

Э. М. Казарян

А. О. Меликян

А. Р. Мкртчян

В. О. Папанян

А. А. Мирзаханян, ответственный секретарь

ԽՄԲԱԳՐԱԿԱՆ ԿՈԼԵԳԻԱ

Վլ. Մ. Հարությունյան, գլխավոր խմբագիր

է. Գ. Շառոյան, գլխավոր խմբագրի տեղակալ

Վիլ.Մ. Հարությունյան

Ա. Ա. Վախումյան

<. <. Վարդապետյան

t. Մ. Ղազարյան

Ա. <. Մելիքյան ,

Ա. Ռ. Մկրտչյան

Վ. Օ. Պապանյան

Ա. Ա. Միրզախանյան, պատասխանատու քարտուղար

EDITORIAL BOARD

VI.M. Aroutiounian, editor-in-chief

E. G. Sharoyan, associate editor

Vil.M. Harutynyan

A. A. Hakhumyan

H. H. Vartapetian

E. M. Kazarian

A. O. Melikyan

A. R. Mkrtchyan

V. O. Papanyan

A. A. Mirzakhanyan, executive secretary

Адрес редакции: Республика Армения, 375019. Ереван, пр. Маршала Баграмина, 24-г.

Խմբագրության հասցեն՝ <այաստանի <անրապետություն, 375019, Երևան, Մարշալ Բաղրամյան պող., 24-գ։

Editorial address: 24-g. Marshal Bagramyan Av./ Yerevan, 375019, Republic of Armenia

О ТЕРМОДИНАМИКЕ МОДЕЛИ ГЕЙЗЕНБЕРГА В ОДНОМЕРНЫХ КВАЗИПЕРИОДИЧЕСКИХ СТРУКТУРАХ

Д. А. БАДАЛЯН, В. М. ГАСПАРЯН

Ереванский государственний университет

Р. М. АБРАМЯН, А. Ж. ХАЧАТРЯН

Армянский государственный инженерный университет

(Поступила в редакцию 2 апреля 1996 г.)

Рассчитана точная свободная энергия системы классических магнитных моментов с изотропным взаимодействием Гейзенберга, когда магнитные моменты могут занимать узлы квазипериодических решеток Фибоначчи или Ту-Морса. Исследована температурная зависимость теплоемкости у ряда квазикристаллических одномерных решеток. Показано, что в случае, когда магнитные моменты могут вращаться в плоскости (модель плоского ротатора), на кривой теплоемкости некоторых решеток Фибоначчи при низких температурах возникает дополнительный максимум.

1. Введение

В последнее время большое число исследований посвящено выяснению особенностей физических свойств одномерных (1D) квазипериодических систем [1]. В большинстве работ в качестве модели для 1D-квазипериодической решетки используется решетка Фибоначчи (РФ). Эта решетка получается из двух структурных элементов A и B, которые образуют последовательность Фибоначчи P_{∞} .

Последовательность Фибоначчи P_{∞} получается с помощью рекуррентного соотношения $P_{l+1} = \{P_l \cdot P_{l-1}\}$ для $l \geqslant 1$ с $P_0 = B$ и $P_1 = A$. Полное число элементов F_{l+1} в P_{l+1} определяется рекуррентной формулой $F_{l+1} = F_{l-1} + F_l$ ($l \geqslant 1$, $F_0 = F_1 - 1$).

Могут быть построены и более сложные квазипериодические 1Dрешетки, которые являются прямым обобщением РФ. Обобщенная последовательность Фибоначчи $P_{\infty}^{\alpha,3}$ дается рекуррентной формулой

$$P_{l,1}^{\alpha,\beta} = \{P_l^{\alpha} \cdot P_{l,1}^{\beta}\},\tag{1}$$

где α , β —натуральные числа. Обобщенное число Фибоначчи—полное число структурных элементов A, B в (1) определяется рекуррентной формулой $\tilde{F}_{l+1} = \alpha \tilde{F}_{l-1} + \beta \tilde{F}_l$ ($\tilde{F}_1 = \tilde{F}_0 = 1$). Доля структурных элементов типа A в $P^{\alpha,\beta}$ равна

$$P_{\alpha,\beta} = \lim_{l \to \infty} \frac{N_A^{(l)}}{N_A^{(l)} + N_B^{(l)}} = \lim_{l \to \infty} \frac{\tilde{F}_l}{\tilde{F}_l + \tilde{F}_{l-1}} = \frac{\eta_{\alpha,\beta}}{1 + \eta_{\alpha,\beta}}, \qquad (2)$$

где $N_A^{(l)}(N_B^{(l)})$ —число элементов A(B) в $P_l^{\alpha,\beta}$ и $\eta_{\alpha,\beta} = \lim_{l \to \infty} \tilde{F}_l/\tilde{F}_{l-1} = \frac{1}{2}(\beta + \sqrt{\beta^2 + 4\alpha})$. В частности, при $\alpha = \beta = 1$ получим "золотую середину": $\eta_{1,1} = (1 + \sqrt{5})/2$.

Другой моделью для квазипериодических систем служит последовательность Ту-Морса (ТМ), которая полностью отличается от последовательности Фибоначчи [2—5]. Тоследовательность ТМ получается с помощью рекуррентного соотношения $M_{t+1}\{M_t\cdot M_t^*\}$ для t>0 с $M_0=\{A\cdot B\}$, где M_t^* есть дополнение M_t , получаемое обменом местами в M_t элементов A и B. Легко заметить, что в последовательности ТМ числа структурных элементов A и B равны между собой, так что p=1/2.

Спектральные свойства РФ и решетки ТМ (электронные, фононные, плазмонные спектры) исследованы в ряде работ [2—11]. Термодинамические свойства РФ изучены на примере изинговской цепочки спинов в нулевом магнитном поле [12, 13] и для 1D упорядочивающегося бинарного сплава [14]. В настоящей работе исследуется более сложная модель—1D-классическая модель Гейзенберга, где спиновые векторы распределены по узлам обобщенной РФ либо решетки ТМ. Получена точная свободная энергия, когда классические магнитные моменты могут вращаться как в плоскости (модель плоского ротатора), так и совершать трехмерные вращения.

2. Метод расчета

Рассмотрим открытую цепочку классических магнитных моментов в нулевом магнитном поле с произвольными неравными взаимодействиями между ближайшими соседями. Статистическая сумма этой модели имеет вид

$$Z = \int \cdot \cdot \cdot \int \exp\left(\sum_{j=1}^{N-1} W_j S_j S_{j+1}\right) \prod_{j'=1}^{N} d\Omega_{j'}, \qquad (3)$$

где величина $W_j = W(j,j+1)$ со знаком минус представляет собой обменный интервал между моментами в узлах j и j+1, деленный на статистическую температуру. Если $W_j < 0$, то основное состояние является антиферромагнитным, если $W_j > 0$, то—ферромагнитным. Векторы S_j и S_{j+1} характеризуют магнитные моменты единичной длины, находящиеся в j-ом и (j+1)-ом узлах решетки соответственно. Векторы S_j направлены в элементы телесных углов $d\Omega_j = \sin\theta_j d\theta_j d\varphi_j (\theta_j, \varphi_j - \text{угловые координаты в сферической системе координат), <math>N$ —полное число узлов в решетке. Интегрирование в (3) проводится по всем ориентациям моментов.

1. Пусть каждый диполь может иметь произвольную ориентацию в пределах плоскости. Тогда статистическая сумма (3) может быть переписана в виде

$$Z_{n,i} = \int \cdot \cdot \cdot \int \exp\left(\sum_{j=1}^{N-1} W_j \cos(\varphi_j - \varphi_{j+1})\right) \prod_{j'=1}^{N} d\varphi_{j'}, \qquad (4)$$

или, используя тождество

$$\exp(W_j\cos(\varphi_j-\varphi_{j+1}))=I_0(W_j)+\sum_{n_j=\infty}^{\infty}I_{n_j}(W_j)\exp(in_j(\varphi_j-\varphi_{j+1}),$$
 (5)

где I_{n_1} — функция Бесселя порядка n от мнимого аргумента, в виде

$$Z_{nx} = \int \cdot \cdot \cdot \int_{J=1}^{N-1} [I_0(W_j) + \sum_{n_j = -\infty}^{\infty} I_{n_j}(W_j) \exp(in_j(\varphi_j - \varphi_{j+1}))] \prod_{j'=1}^{N} d\varphi_{j'}.$$
(6)

В штрихованных суммах (5), (6) отсутствует член, отвечающий $n_j = 0$.

Интегрирование (6) по углам $\varphi_{i'}$ дает

$$Z_{na} = (2\pi)^N \prod_{j=1}^{N-1} I_0(W_j). \tag{7}$$

В частном случае, когда все W_j равны друг другу : $W_1 = W_2 = \cdots = W_{N-1} = W$ (идеальная решетка) и $N \gg 1$,

$$Z_{n,i} = [2\pi I_0(\mathbf{W}')]^N,$$
 (8)

что совпадает с формулой для замкнутой цепочки плоских ротаторов, полученной в [15] методом трансфер-матриц.

2. Рассмотрим более общий случай, когда моменты в каждом узле могут иметь произвольные вращения (формула (3)).

Введем матрицу $\exp(W_j S_j S_{j+1})$, собственные значения и собственные векторы которой определяются уравнением на собственные значения:

$$\int \exp(W_j S_j S_{j+1}) \Phi_0(S_{j+1}) d\Omega_{j+1} = \lambda_\sigma \Phi_\sigma(S_j). \tag{9}$$

Собственные значения и собственные функции этого уравнения имеют впд

$$\lambda_{\sigma}(W_{j}) = \lambda_{n} = W_{j}^{n} \left(\frac{d}{W_{j}dW_{j}}\right)^{n} \frac{\sinh W_{j}}{W_{j}},$$

$$\Phi_{\sigma}(S_{j}) = Y_{nm}(\theta_{j}\varphi_{j}) = \left[\frac{2n+1}{4\pi} \cdot \frac{(n-|m|)!}{(n+|m|)!}\right]^{1/2} \cdot P_{n}^{|m|}(\cos\theta_{j})e^{im\varphi_{j}}, \quad (10)$$

где Y_{nm} —сферическая функция, $P_n^m(x)$ —присоединенный полином Лежандра, $n=0, 1, 2, \dots, -n \le m \le n$, $\sigma = \{n, m\}$. Из условия ортогональности собственных векторов эрмитового оператора следует, что

$$\int \Phi_{\sigma}(S_{j}) \Phi_{\sigma'}(S_{j}) d\Omega_{j} = \delta_{\sigma \sigma'}. \tag{11}$$

Пользуясь стандартным билинейным представлением матрицы, можно записать

$$\exp(W_j S_j S_{j+1}) = \frac{\sinh W_j}{W_j} + \sum_{\sigma} \lambda_{\sigma}(W_j) \Phi_{\sigma}(S_j) \Phi_{\sigma}(S_{j+1}). \tag{12}$$

Суммирование в штрихованной сумме производится по всему спектру, кроме $\sigma = \{0,0\}$.

Подставляя (12) в (3) и учитывая (11), получим

$$Z_{\tau pex} = (4\pi)^N \prod_{j=1}^{N-1} \frac{\sinh W_j}{W_j} . \tag{13}$$

Равенство (13) в случае идеального кристалла приводит к хорошо известному результату ($N\gg 1$):

$$Z_{\text{tpex}} = \left(4\pi \frac{\text{sh } W}{W}\right)^{N}, \tag{14}$$

полученному впервые (другим методом) в [16].

3. Свободная энергия квазипериодических решеток

Рассмотрим теперь задачу упорядочения цепочки магнитных диполей в обобщенной РФ. Последняя модель, очевидно, представляет
собой частный случай 1D-классической модели Гейзенберга с неоднородным взаимодействием. Допустим, что каждая функция может принимать только два значения: W_A и W_B . Последовательность величин W_A , W_B получается из рекуррентного соотношения (1). Тогда статистическая сумма обобщенной РФ для модели плоского ротатора, согласно (7), (2), будет иметь вид $(N\to\infty)$

$$Z_{n,s}^{\phi\pi6} = (2\pi)^{N} [I_0(W_A)]^{P_{\alpha,\beta}N} \cdot [I_0(W_B)]^{(1-P_{\alpha,\beta})N}.$$
 (15)

Аналогично из (13) получим

$$Z_{\text{tpex}}^{\phi \text{H}6} = (4\pi)^N \left[\frac{-\text{sh} W_A}{W_A} \right]^{P_{\alpha,\beta}N} \cdot \left[\frac{-\text{sh} W_B}{W_B} \right]^{(1-P_{\alpha,\beta})N}. \tag{16}$$

Знание статистической суммы (15) или (16) позволяет найти другие термодинамические величины.

Интересующая нас свободная энергия на один узел для модели плоского ротатора дается выражением

$$N^{-1}A_{n\pi}^{\phi n6} = -kT[\ln 2\pi + P_{\alpha,\beta} \ln I_0(W_A) + (1 - P_{\alpha,\beta}) \ln I_0(W_B)], \tag{17}$$

а для системы трехмерных ротаторов:

$$N^{-1}A_{\text{rpex}}^{\phi = 6} = -kT[\ln 4\pi + P_{\text{e,}\beta}\ln \frac{\sinh W_A}{W_A} + (1 - P_{\text{z,}8})\ln \frac{\sinh W_B}{W_B}], \qquad (18)$$

(в (17, (18) Т-абсолютная температура, к-постоянная Больцмана).

Формулы (17) и (18) решают поставленную задачу. Для получения свободной энергии решетки ТМ достаточно заменить функцию $P_{\alpha,3}$ величиной p=1/2.

4. Обсуждиние результатов

Для иллюстрации влияния квазипериодичности решетки на термодинамические свойства мы рассмотрим теплоемкость 1D-модели Гейзенберга как в обобщенной РФ, так и в решетке ТМ. Ход теплоемкости C(T) получим дифференцированием дважды по температуре свободной энергии (17) и (18). Для модели плоских ротаторов имеем $C_{n,t}^{\Phi nG}/kN = P_{\alpha,\beta}W_A^2[1-W_A^{-1}f(W_A)-f^2(W_A)]+(1-P_{\alpha,\beta})W_B^2[1-W_B^{-1}f(W_B)-f^2(W_A)],$ (19)

где $f(x) = I_1(x)/I_0(x)$. Для модели трехмерных ротаторов

$$C_{\text{rpex}}^{\phi \text{uf}}/kN = P_{\alpha,\beta} \left[1 - \left(\frac{\sinh W_A}{W_A} \right)^{-2} \right] + (1 - P_{\alpha\beta}) \left[1 - \left(\frac{\sinh W_B}{W_B} \right)^{-2} \right]. \tag{20}$$

Пользуясь формулами (19) и (20), построим графики зависимости C от приведенной температуры $\tau = kT/W_A$ для различных значений параметров $\nu = W_B!W_A$, α и β (см. рис. 1 и 2). Здесь видно, что в случае модели трехмерных вращений (рис. 2а и 2б) квазипериодичность решетки, по сравнению с обычной моделью Гейзенберга, не приводит к

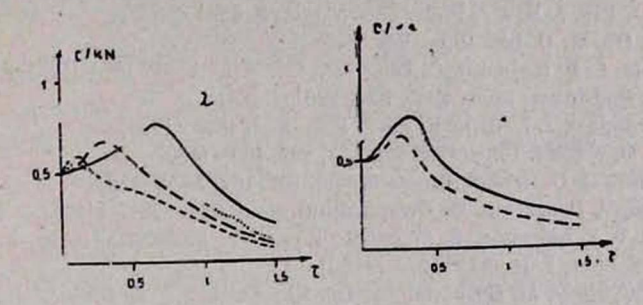


Рис. 1. Зависимость теплоемкости от температуры $\tau=kT/W_A$ для линейной цепочки плоских ротаторов. а) РФ—идеальная решетка ($\nu=1$; сплошная линия), $\nu=0,5, \alpha=\beta=1$ (крупная штрихованная линия); $\nu=0,2, \alpha=\beta=1$ (мелкая штрихованная линия); $\nu=0,2, \alpha=1, \beta=3$ (пунктирная линия). 6) ТМ— $\nu=0,5$ (сплошная линия); $\nu=0,2$ (штрихованная линия).

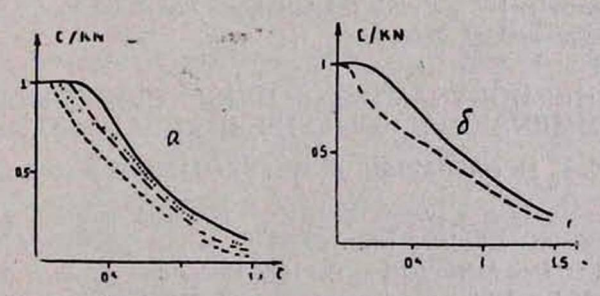


Рис. 2. Зависимость теплоемкости от температуры $\tau = kT/W_A$ для линейной цепочки трехмерных ротаторов: а) РФ, б) ТМ (те же обозначения, что и для рис.1).

качественному изменению температурного хода теплоемкости. В модели плоского ротатора (рис. 1а и 16), по сравнению с идеальной решеткой, мосота максимума С уменьшается и несколько смещается в сторону нистих температур. Однако главное различие заключается в том, что в случае РФ при самых низких температурах и малых значениях у возникает дополнительный максимум. Этот максимум сглаживается с уменьшением $P_{\alpha,\beta}$. Как известно, ход конфигурационной теплоемкости характеризует скорость изменения степени ближнего порядка в кристалле в зависимости от T. Таким образом, квазипериодичность типа РФ приводит к неожиданному и интересному изменению характера ближнего порядка спиновой системы при низких температурах.

Проведение исследования, описанного в этой публикации, во многом стало возможным благодаря гранту №МVL000 Международного Научного Фонда.

ЛИТЕРАТУРА

- 1. H. Hiromoto, M. Kohmoto. Int. J. Mod. Phys., B6, 281 (1992).
- 2. R. Rikiund, M. Semerin, Y. Liu. Int. J. Mod. Phys., B1, 121 (1987).
- 3. G. Gumbs, M. K. All. Phys. Rev. Lett., 60, 1081 (1988).
- 4. J. Zhong, J. Yan, J. You. J. Phys. Cond. Matt., 3, 6293 (1991).
- 5. C. Ryu, G. Oh, M. H. Lee. Phys. Rev., B48, 132 (1993).
- 6. M. Kohmoto, L. P. Kadanoff, C. Tang. Phys. Rev. Lett., 50, 1870 (1983).
- 7. F. Nori, J. Rodriguez. Phys. Rev., B34, 2207 (1986).
- 8. J. Lu, T. Odagaki, J. L. Birman. Phys. Rev., B33, 4809 (1986).
- 9. H. Botter, G. Kasner. Phys. stat. sol. (b), 162, 489 (1990).
- 10. L. N. Guman, O. Usatenko. Phys. stat. sol. (b), 162, 387 (1990).
- 11. P. Garpena, V. Gasparlan, M. Ortuno. Phys. Rev., B51, 12813 (1995).
- 12. Y. Achiam, T. S. Lubensky, E. Marshall. Phys. Rev., B33, 6460 (1986).
- 13. P. K. Ghos. Phys. Lett., A139, 279 (1989).
- 14. B. H. Badalyan, V. M. Gasparian, A. Gh. Khachatrian, et al. Physica, B217, 127 (1996).
- '5. B. Freaser, L. K. Runnels. J. Chem. Phys., 58, 3963 (1973).
- 16. M. E. Fisher. Am. J. Phys., 32, 343 (1967),

124

ՄԻԱՉԱՓ ՔՎԱԶԻՊԱՐԲԵՐԱԿԱՆ ՍՏՐՈՒԿՏՈՒՐԱՆԵՐԻ ՀԱՑԶԵՆԲԵՐԳԻ ՄՈԴԵԼԻ ԹԵՐՄՈԴԻՆԱՄԻԿԱՑԻ ՄԱՍԻՆ

4. 2. PUPULBUR, 4. U. PUUMUPBUR, A. U. UPPUZUUBUR, U. J. WUSUSPBUR

Ստացված է Հայզենբերգի իզոտրոպ փոխազգող դասական մագնիսական մոմենտների սիստեմի ազատ էներգիան, երը մագնիսական մոմենտները կարող են զբաղեցնել Ֆիրոնալիի նամ Թու-Մորսի քվազիպարբերական ցանցերի հանգուլցները։ Ուսումնասիրված է չերմունակության կախումը որոշ քվազիբյուրեղների համար։

ON THERMODYNAMICS OF HEISENBERG'S MODEL IN ONE-DIMENSIONAL QUASIPERIODICAL STRUCTURES

D. H. BADALIAN, V. M. GASPARIAN, R. M. ABRAHAMIAN, A. GH. KHACHATRIAN

The exact free energy of a system of classical magnetic moments with an isotropic Heisenberg interaction is calculated when the moments may occupy the sites of a quasi-periodic Fibonacci or Thue-Morse lattice. The temperature dependence of the heat capacity a number of quasicrystalline one-dimensional lattices is investigated. It is found that in the case where magnetic moments can rotate in a plane (plane rotator model) an additional maximum arises at low temperatures on the heat capacity curve of several Fibonacci lattices.

УДК 621.373,82

КВАЗИКЛАССИЧЕСКОЕ ПРИБЛИЖЕНИЕ ВО ВРЕМЕННОМ ПРОСТРАНСТВЕ

М. Л. ТЕР-МИКАЕЛЯН

Институт физических исследований НАН Армении

(Поступила в редакцию 11 декабря 1996 г.)

Развита методика получения квазиклассических волновых функций во временном пространстве для двухуровневой системы, взаимодействующей со световым импульсом. Полученные выражения в пределе монохроматических полей переходят в известные результаты для мгновенного включения взаимодействия и могут применяться при решении различных задач взаимодействия вблизи резонансов с простейшими атомными системами.

Поведение простых атомных систем в поле немонохроматического электромагнитного импульса, распространяющегося вдоль оси х

$$E(t,r) = \mathcal{E}(t,x)e^{ikx-i\omega t} + \text{k.c.}; \ \mathcal{E} = \mathcal{E}e \tag{1}$$

может быть детально проанализировано вблизи резонанса. Предполагается, что амплитуда поля является медленно меняющейся функцией по сравнению с экспонентой. Для этого мы воспользуемся широко известным в квантовой механике квазиклассическим приближением [1], которое применим для исследования задач не в пространстве х, у, z, а в пространстве времени. Близкая методика применялась в работе [2] для вычисления вероятности адиабатических переходов. Амплитуда поля, входящая в выражение для немонохроматического поля (1) имеет вид

$$\mathscr{E}(x,t) = [\mathscr{E}(x,t)|e^{r\varphi(x,t)}. \tag{2}$$

Решение уравнения Шредингера

$$th \frac{\partial \Phi}{\partial t} = (\hat{H}_0 - \hat{d}E)\Phi \tag{3}$$

будем искать в виде разложения по полной системе функций невозмущенного атома

$$\Psi_s = U_s e^{iE_s t}, \tag{4}$$

где E_s — энергия, измеряемая в единицах сек $^{-1}$. Уравнения для коэффициентов разложения a_1 и a_2 искомой волновой функции

$$\Phi = a_1 \Psi_1 + a_1 \Psi_2 \tag{5}$$

для двухуровневой системы в резонансном приближении, т. е. при условии

$$|\Delta| - |E_{21} - \omega| \ll E_{21} \tag{6}$$

можно записать в следующем виде:

$$i\dot{a}_1 = W^*a_2,$$

$$i\dot{a}_2 = Wa_1,$$
(7)

где

$$W = Ve^{i\Delta t} = \left| \frac{d\mathcal{E}}{h} \right| e^{i\Delta t + i\varphi + i\varphi_1 - i\varphi_2 + i\pi} = \left| \frac{d\mathcal{E}}{h} \right| e^{i\varphi_0(x,t)}, \tag{8}$$

$$\varphi_0(x,t) = \Delta t + \varphi + \varphi_1 - \varphi_2 + \pi, \tag{9}$$

где φ_1 и φ_2 —случайные фазы волновых функций атома в нижнем и верхнем состояниях, φ —фаза амплитуды поля E, а $d=d_{21}=\int U_2^* er U_1 dV$. Из уравнений (7) следует уравнение для a_1 :

$$\ddot{a}_1 - \dot{a}_1 \frac{d}{dt} \ln W^* + |W|^2 a_1 = 0.$$
 (10)

Уравнение для a_2 получается из (10) при замене W^* на W. Из условия ортонормированности функций $\Phi_{1,2}$ следует условие

$$|a_1|^0 + |a_2|^0 = 1. (11)$$

Будем искать решение уравнения (10) в виде

$$a_1 = e^{\frac{i}{h}S} - e^{\frac{i}{h}(S_0 + hS_1 + h^2S_2 + \dots)}$$
 (12)

Подставляя в (10), получим

$$\dot{S}_o = \pm \pi |W|, \tag{13}$$

$$\dot{S_1} = \frac{\dot{\varphi}_0}{2} = \frac{\Delta + \dot{\varphi}}{2}. \tag{14}$$

Общее решение уравнения Шредингера можно представить в следующем виде:

$$\Phi = C_1 e^{i\int_{-\infty}^{t} \left[|W| - \frac{1}{2}\dot{\varphi}_0(t)\right] dt} - \int_{-\infty}^{t} \left[|W| + \frac{1}{2}\dot{\varphi}_0(t)\right] dt \qquad (15)$$

$$(\Psi_1 + e^{i\varphi_0}\Psi_2) + C_2 e^{i\Psi_1}$$

Из общего решения выберем две функции $\Phi_{1,2}$, подчиняющиеся начальным условиям $\Phi_1 \Rightarrow \Psi_1$ при $t \to -\infty$ и $\Phi_2 \to \Psi_2$ при $t \to -\infty$. Ответ можно представить в виде

$$\Phi_{1}=e^{-i\frac{\varphi_{0}}{2}}\Psi_{1}\cos\int_{-\infty}^{t}|W|dt+ie^{i\frac{\varphi_{0}}{2}}\Psi_{2}\sin\int_{-\infty}^{t}|W|dt, \qquad (16)$$

$$\Phi_2 = ie^{-i\frac{\tau_0}{2}} \Psi_1 \sin \int_0^t |W| dt + e^{i\frac{\tau_0}{2}} \Psi_2 \cos \int_0^t |W| dt.$$
 (17)

Функции (16), (17) в случае мгновенного включения W(t) при $t=t_0$ (при этом нижний предел интегрирования в формулах (15), (16) и (17) нужно заменить на t_0 и считать, что при $t>t_0$, |W|= const и $\dot{\varphi}_0=\Delta++\dot{\varphi}=$ const), переходят в известный результат при $\dot{\varphi}=0$, рассмотренный в [1, §41]. Однако результат расчета, приведенного в [1], содержит опечатки (что сразу видно из приведенных в [1] выражений для Φ_1 и Φ_2 , которые не подчиняются условию ортонормированности). Правильные выражения для $\Phi_{1,2}$ при $t_0=0$ имеют вид:

$$\Phi_{1}'=e_{\Lambda}p\left(-i\frac{\Delta}{2}\right)\left[\cos\frac{\Omega t}{2}+\frac{i\Delta}{\Omega}\sin\frac{\Omega t}{2}\right]\Psi_{1}-e_{X}p\left(i\frac{\Delta}{2}t\right)\frac{2iV}{\Omega}\sin\frac{\Omega t}{2}\Psi_{2}, (16')$$

$$\Phi_{2}' = -\exp\left(-i\frac{\Delta}{2}t\right)\frac{2iV^{*}}{\Omega}\sin\frac{\Omega t}{2}\Psi_{1} + \exp\left(i\frac{\Delta}{2}\right)\left[\cos\frac{\Omega t}{2} - \frac{i\Delta}{\Omega}\sin\frac{\Omega t}{2}\right]\Psi_{2}. (17')$$

Нужно также учесть, что для совпадения результатов (16), (17) с (16'). (17')—результатами для мгновенного включения импульса с постоянной амплитудой и фазой, при $t \ge t_0$ в выражениях (16) и (17) необходимо удерживать поправки порядка S_1 и в предэкспоненциальных коэффициентах. В этом случае при определении Φ_1 необходимо

принять
$$C_{1,2} = \frac{1}{2} \left(1 \pm \frac{\dot{\varphi}_0(t_0)}{2|W(t_0)|} \right)$$
; а при нахождении $\Phi_{\mathbf{s}} C_{1,2} = \mp \frac{1}{2} e^{i\varphi_0(t_0)}$

что соответствует учету поправок первого порядка по параметру $\frac{\varphi_0}{2|W|}$ в предэкспоненциальных коэффициентах выражения (15) и сво-

дится к замене
$$C_1 e^{i\varphi_0} \Psi_2$$
 на $C_1 e^{i\varphi_0} \left[1 - \frac{\varphi_0}{2|W|} \right] \Psi_2$ и $C_2 \Psi_2$ на $C_3 \left[1 + \frac{\varphi}{2|W|} \right] \Psi_2$.

Легко проверить, что и в этом случае функции (16), (17) ортонормированы. Однако удержание поправки первого порядка в случае, когда W = W(t) и $\varphi = \varphi(t)$, не является правомерным, поскольку при этом нормировка волновых функции будет зависеть от времени.

Условие применимости квазиклассики $\hbar S_1 \ll S_0$ сводится к условию

$$\int_{-\infty}^{t} \frac{\dot{\varphi}_0}{2} dt \ll \int_{-\infty}^{t} |W| dt. \tag{18}$$

Из выражений (9) и (18) следует, что если импульс действует в интервале $-t_{eff} < t < t_{eff}$, то (16) принимает вид

$$\frac{1}{2} \int_{-t_{eff}}^{t_{eff}} \left(\Delta + \frac{\partial \Psi}{\partial t} \right) dt \ll \int_{-t_{eff}}^{t_{eff}} |W| dt. \tag{19}$$

Следовательно, величина $\int\limits_{-t_{eff}}^{t_{eff}} |W|dt$, которая пропорциональна частоте

перехода между состояниями $\Phi_{1,2}$, т. е. эффективной частоте Раби, умножения на время действия импульса $2t_{eff}\sim \tau$, должна быть значительно больше суммарного изменения фазы, как за счет фазы амплитуды поля ϕ , так и за счет расстройки Δ .

Если импульс начинает действовать на атом, который до взаимодействия находился в состоянии $a_1 = 1$, $a_2 = 0$, с момента $-t_{eff}$, то условие (18) нужно рассматривать в интервале времени от $-t_{eff}$ до tзаменить нижний предел во всех выражениях на $-t_{eff}$. Тогда для интервала времен от $-t_{eff}$ до t, где будет нарушаться условие (18), квазиклассическое приближение становится неприменимым. Аналогичная ситуация имеет место и при выключении импульса.

Кроме условия (18), необходимо потребовать, чтобы эффекты «накопления» от S_1 за время действия импульса были бы несущественны, т. е.

$$S_1(t) - S_1(-t_{eff}) \ll \pi. \tag{20}$$

Условие (20) накладывает ограничения на условия применимости решений (15), и будет зависеть от конкретных свойств изменения фазы и амплитуды импульса от времени. Например, в случае φ =const условие (20) будет означать, что эффектами «накопления» можно пренебречь, если удовлетворяется условие $\tau \leqslant \pi/\Delta$, и, поскольку $\Delta \ll \omega$, то функции (17) могут быть использованы для рассмотрения процессов, гроисходящих за большое число периодов лазерной волны, т. е. для длин, значительно превышающих атомные и даже межатомные расстояния.

В случае, когда осуществляется точный резонанс и амплитуда волны имеет независящую от времени фазу (Δ =0, φ =const), волновые функции (16) и (17) становятся точными решениями уравнений (10) и могут использоваться для любых промежутков времени.

Учет в разложении (12) члена S_2 приводит к дополнительному условию применимости квазиклассического приблжения $S_2 \ll S_1$:

$$\int_{-t_{eff}}^{t} \left| \frac{\dot{\varphi}^{2}}{4} + i \left| \frac{\dot{\varphi}}{2} \right| \left| \frac{\dot{W}}{W} \right| - i \frac{\ddot{\varphi}}{2} \right| \frac{dt}{|W|} \ll \varphi(t) - \varphi(-t_{eff}). \tag{21}$$

Прямая подстановка квазиклассического решения в уравнения (10) показывает, что решения остаются справедливыми, если при их нахождении можно пренебречь выражением, входящим под интеграл в (21), по сравнению с членами порядка iW, $W\dot{\phi}$. Кроме условия (19), необходимо также наложить условие $\dot{\phi} \ll \dot{W}$.

Полезно сравнить уравнение (10) с уравнением Шредингера, для которого квазиклассический метод решения хорошо разработан [1,3, 4]. Для этого введем вместо a_1 переменную b_1 :

$$b_1(t) = a_1(t)e^{\int_0^t f(t)dt} = a_1(t)W^*,$$
 (22)

где

$$f(t) = \frac{d}{dt} \ln W^*. \tag{23}$$

Тогда уравнение (10) примет вид

$$\ddot{b} + b \left(-\frac{\dot{f}}{2} - \frac{\dot{f}^2}{4} + |W|^2 \right) = 0.$$
 (24)

Непосредственно применить известные решения, полученные в квантовой механике, к уравнению (24) невозможно и уравнение (24) требует специальных математических исследований в точках поворота.

Функции (16), (17), в частности, при линейной зависимости фазы поля от времени, могут найти применение при рассмотрении различных задач взаимодействия импульсов света с простейшими атомными системами вблизи резонансных переходов. Например, может быть рассмотрена задача о взаимодействии двух разнесенных во времени импульсов с сильно отличающимися амплитудами с двухуровневой системой в резонансных условиях. Можно также применить квазиклассическую методику к трехуровневой системе. Эти вопросы будут обсуждены в последующей публикации.

Пользуюсь случаем выразить благодарность Г. Григорян и Р. Унаняну за обсуждение-

Работа выполнена в рамках темы 96-772, финансируемой из государственных централизованных источников РА.

ЛИТЕРАТУРА

- 1. Л. Д. Ландау, Е. М. Лифшиц. Квантовая механика. М., Наука, 1974.
- 2. А. М. Дыхне. ЖЭТФ, 41, 1325 (1961).
- 3. В. А. Коварский, Н. Ф. Перельман, И. Ш. Авербух, С. А. Баранов, С. С. Тодирешку. Неадиабатические переходы в сильном электромагнитном поле. Кишинев, «Штиинца», 1980.
- 4. В. А. Коварский, Н. Ф. Перельман, И. Ш. Авербух. Многоквантовые процессы. М., «Энергоатомиздат», 1985.

QUASICLASSICAL APPROXIMATION IN TIME

M. L. TER-MIKAELYAN

The quasiclassical approximation is developed in space of time variable for a twolevel system interacting with an optical electromagnetic pulse. For monochromatic optical pulse the results are equivalent to the well-known expressions for the wave functions of two-level systems driven by a monochromatic field with instantaneous switching on. The obtained results for monochromatic cases may be used in solving various problems of resonance interactions.

қ теории примесных состояний в эллипсоидальных микрокристаллах

А. С. ГАСПАРЯН, Э. М. КАЗАРЯН

Ереванский государственный университет

(Поступила в редакцию 18 ноября 1996г.)

Методом квантовой теории возмущений исследованы энергетические состояния и волновые функции водородоподобной примеси, локализованной в геометрическом центре трехмерного полупроводникового микрокристалла эллипсоидальной формы, в приближении бесконечной потенциальной ямы.

В последние годы продолжает расти интерес к полупроводниковым системам с пространственным ограничением движения носителей заряда в трех направлениях, к так называемым микрокристаллам (см., например, [1—3]). Однако во всех работах, относящихся к данным объектам, рассмотрены микрокристаллы сферической формы. С другой стороны, как известно, рост полупроводниковых микрокристаллов в стеклянной матрице осуществляется в процессе диффузионного фазового распада на стадии переконденсации. Очевидно, что получающиеся таким образом полупроводниковые вкрапления не имеют вида идеальных шаров. Ниже нами исследовано влияние несферичности (в частности, эллипсоидальности) микрокристалла на примесные состояния.

Пусть шарообразный микрокристалл (бесконечная потенциальная яма) с диэлектрической постоянной ϵ и примесью заряда e, расположенной в центре, подвергается малой деформации (без изменения объема), принимая форму слабо вытянутого или сплюснутого эллипсоида вращения с полуосями a = b и c. Тогда уравнение границы эллипсоида

$$\frac{x^2 + y^3}{a^3} + \frac{z^2}{c^3} = 1 \tag{1}$$

путем замены переменных

$$x \rightarrow ax_0/R$$
, $y \rightarrow ay_0/R$, $z \rightarrow cz_0/R$ (2)

превращается в уравнение сферы радиуса R:

$$x_0^2 + y_0^2 + z_0^2 = R^2. (3)$$

В предположении малого отличия эллипсоида от сферы радиуса $R=(a^3c)^{1/3}$ введем "степень эллипсоидальности" $\beta(|3|\ll 1)$ согласно

$$a \approx R\left(1-\frac{1}{3}\beta+\frac{1}{18}\beta^3\right), \quad c \approx R\left(1+\frac{2}{3}\beta+\frac{2}{9}\beta^3\right).$$
 (4)

Тогда в приближении эффективной массы гамильтониан электрона

$$\hat{H} = -\frac{h^3}{2M}\Delta - \frac{\alpha}{(x^2+y^2+z^2)^{1/2}}, \text{ rge } \alpha = \frac{e^2}{\epsilon}, h=1,05 \cdot 10^{-27} \text{ spr.c}$$
 (5)

 (М—эффективная масса электрона, энергия отсчитывается от дна ямы), с помощью (2) и (4) нетрудно представить в виде

$$\hat{H} = \hat{H}_0 + \hat{V}_1 + \hat{V}_2, \tag{6}$$

где

$$\hat{H_0} = -\frac{h^2}{2M} \Delta_0 - \frac{\alpha}{r}$$
, где $r = (x_0^2 + y_0^2 + z_0^2)^{1/2}$, (7)

$$\widehat{V}_{1} = -\frac{\hbar^{2}}{3M}\beta\left(\Delta_{0} - 3\frac{\partial^{3}}{\partial z^{3}}\right) - \frac{\alpha}{3}\beta\left(\frac{1}{r} - \frac{3z^{3}}{r^{3}}\right), \tag{8}$$

$$\hat{V}_{2} = \frac{h^{2}}{9M} \beta^{2} \left(\Delta_{0} - 3 \frac{\partial^{2}}{\partial z^{2}} \right) - \frac{2h^{2}}{9M} \beta^{2} \Delta_{0} - \frac{4\alpha}{9} \beta^{2} \left(\frac{1}{r} - \frac{3z^{2}}{r^{3}} \right) + \frac{7\alpha}{18r} \beta^{2} - \frac{3\alpha z^{4}}{2r^{5}} \beta^{2}.$$
 (9)

Применим теорию возмущений по параметру р. В силу вида (8) и (9) она применима по схеме для невырожденного случая. В первом порядке изменение уровней энергии электрона по сравнению с уровнями в сферическом микрокристалле:

$$\Delta E_{nLm} = E_{nLm} - E_{nL}^{(0)} = \langle nLm | \hat{V}_1 | nLm \rangle \tag{10}$$

 $(L\ u\ m$ —квантовые числа, характеризующие соответственно величину момента электрона и его проекцию на ось эллипсоида, n нумерует уровни энергии в сферическом микрокристалле при заданном L; последние от числа m не зависят). Оператор V_1 состоит из суммы zz-компонент неприводимых тензоров 2-го ранга, поэтому следуя [4] с учетом кулоновского взаимодействия и используя теорему вириала, получим:

$$< nLm | \hat{V}_1 | nLm > = \left(1 - \frac{3m^2}{L(L+1)}\right) < nL0 | \hat{V}_1 | nL0 >,$$
 (11)

$$\langle nL0|\hat{V}_{11}|nL0\rangle = 0.$$
 (12)

$$< nL0|\hat{V}_{12}|nL0> = 2\beta \frac{4L^3 + 6L^4 - 1}{(4L^4 - 1)(2L + 3)} E_{nL}^{(0)},$$
 (13)

$$< nL0 | \hat{V}_{13} | nL0 = -2\beta \frac{4L^3 + 6L^8 - 1}{(4L^8 - 1)(2L + 3)} E_{nL}^{(0)},$$
 (14)

$$r_{\text{дe}} \qquad \hat{V}_{1} = \hat{V}_{11} + \hat{V}_{12} + \hat{V}_{13}, \tag{15}$$

$$\widehat{V}_{11} = -\frac{h^2}{3M}\beta \Delta_0 - \frac{\alpha}{3r}\beta, \ \widehat{V}_{12} = \frac{h^2\beta}{M} \cdot \frac{\partial^2}{\partial z^2}, \ \widehat{V}_{13} = \frac{a\beta z^2}{r^3}.$$
 (16)

Суммируя полученные результаты, найдем:

$$\langle nLm|V_1|nLm\rangle = 0. \tag{17}$$

131

Таким образом, в первом порядке теории возмущений уровни энергии не изменяются. Заметим, что этот результат также можно было бы получить при непосредственном усреднении тензорных величин, составляющих оператор \hat{V}_1 (см.[4]).

Найдем вклад оператора \hat{V}_1 во втором порядке. Для этого вычислим матричный элемент $<\!n'L'm'|\hat{V}_1|nLm>$.

Из (8) следуют правила отбора
$$m \to m$$
, $L \to L \pm 1$, $L \to L \pm 2$, $L \to L$, здесь $L \ne 0$. (18)

Далее, имеем:

$$< n'L'm'|\hat{V}_1|nLm> = < n'L'm|\hat{V}_1|nLm> = (-1)^m \frac{\binom{L'2L}{-m0m}}{\binom{L'2L}{000}} < n'L'0|\hat{V}_1|nL0>,$$
(19)

где $\binom{L'2L}{-m0m}$ и $\binom{L'2L}{000}$ -3j-символы (см.[4]).

Для переходов $L \rightarrow L$ $(n' \neq n)$ аналогично (12), (13) и (14) получим:

$$\langle n'L0|\hat{V}_{11}|nL0\rangle = \frac{\alpha\beta}{3} \int_{0}^{R} R_{n'L}R_{nL}r\partial r,$$
 (20)

$$< n'L0|\hat{V}_{12}|nL0> = -2\alpha\beta \left(\frac{(L+1)^2}{4(L+1)^2-1} + \frac{L^2}{4L^2-1}\right) \int_0^R R_{n'L}R_{nL}rdr,$$
 (21)

$$\langle n'L0|\hat{V}_{13}|nL0\rangle = \alpha\beta \frac{2L^2 + 2L - 1}{(2L - 1)(2L + 3)} \int_{0}^{R} R_{n'L}R_{nL}rdr.$$
 (22)

Суммируя (20), (21), (22) и подставляя в (19), в итоге для $L \rightarrow L$ имеем:

$$< n'Lm|\hat{V}_1|nLm> = 2\alpha\beta \left(\frac{m^2}{L(L+1)} - \frac{1}{3}\right) \frac{L(L+1)}{(2L-1)(2L+3)} \int_{0}^{R} R_{n'L}R_{nL}rdr,$$
 (23)

где R_{nL} —радиальная часть волновой функции электрона в сферическом микрокристалле.

Переходы $L \rightarrow L \pm 1$ запрещены законом сохранения четности, поэтому соответствующие матричные элементы равны нулю.

Рассмотрим переходы $L \rightarrow L' = L + 2$, для которых

$$\langle n'L'0|\hat{V}_{11}|nL0\rangle = 0,$$
 (24)

т. к. матричные элементы скаляров диагональны по числу L.

$$\int_{0}^{R} R_{n'L'}R_{nL}rdr = 0, \text{ откуда}$$
 (25)

$$\langle n'L'0|\hat{V}|_{13}nL0\rangle = 0.$$
 (26)

$$\int_{0}^{R} R_{n'L} R'_{nL} r dr = 0, \text{ откуда}$$
 (27)

$$\langle n'L'0|\hat{V}_{19}|nL0\rangle = 0.$$
 (28)

При выводе (25)—(28) применялись свойства эрмитовости матричных элементов и формулы

$$\int_{0}^{R} R'_{n'L'}R'_{nL}r^{2}dr = -L(L+1)\int_{0}^{R} R_{n'L'}R_{nL}dr = -L'(L'+1)\int_{0}^{R} R_{nL}R_{n'L'}dr = 0,(29)$$

$$\int_{0}^{R} R_{n'L'}R'_{nL}rdr = -\int_{0}^{R} R'_{n'L'}R_{nL}rdr.$$
 (30)

Случай $L \rightarrow L - 2$ рассматривается аналогично. Таким образом, для переходов $L \rightarrow L \pm 2$

$$\langle n'L'm|\hat{V}_1|nLm\rangle = 0,$$
 (31)

 \hat{V}_1 в поправку второго порядка к энергетическим уровням равен

$$E_{1} = \sum_{n'=0}^{\infty} \frac{|\langle n'Lm|\hat{V}_{1}|nLm\rangle|^{2}}{E_{nL}^{(0)} - E_{n'L}^{(0)}} = 4\alpha^{2}\beta^{2} \left(\frac{m^{2}}{L(L+1)} - \frac{1}{3}\right)^{2} \frac{L^{2}(L+1)^{2}}{(2L-1)^{2}(2L+3)^{2}} \times \sum_{n'=0}^{\infty} \frac{\int_{0}^{R} R_{n'L}R_{nL}rdr}{E_{nL}^{(0)} - E_{n'L}^{(0)}},$$
(32)

штрих у знака суммы здесь и ниже означает, что при суммировании по n' надо опустить член с n'=n

Перейдем к вычислению вклада оператора $\hat{V_2}$ во второй порядок. Имеем

$$\hat{V}_{2} = \hat{V}_{21} + \hat{V}_{22} + \hat{V}_{23}, \tag{33}$$

где



$$\hat{V}_{23} = \frac{h}{9M} \beta^2 \left(\Delta_0 - 3 \frac{\partial^2}{\partial z^3} \right) - \frac{4\alpha}{9} \beta^2 \left(\frac{1}{r} - \frac{3z^3}{r^3} \right),
\hat{V}_{22} = -\frac{2h^2}{9M} \beta^2 \Delta_0 + \frac{7\alpha\beta^2}{18r}, \quad \hat{V}_{23} = -\frac{3\alpha\beta^2 z^4}{2r^5}.$$
(34)

Аналогично (11), (12), (13) и (14) получим:

$$< nLm | \hat{V}_{23} | nLm > = \frac{20}{3} \beta^2 \left(\frac{m^2}{L(L+1)} - \frac{1}{3} \right) \frac{L(L+1)}{(2L-1)(2L+3)} E_{nL}^{(0)},$$
 (35)

$$< nLm |\hat{V}_{22}|nLm> = -\frac{11}{9}\beta^2 E_{nL}^{(0)}.$$
 (36)

Палее:

$$\langle nLm | \hat{V}_{23} | nLm \rangle = \frac{9\beta^2}{(2L-1)(2L+1)(2L+3)} E_{nL}^{(0)} \times \left(\frac{(L^2+2L-m^2)^2-1}{2L+5} + \frac{(L^2-m^2-1)^2-1}{2L-3} \right),$$
 (37)

здесь использовалась известная формула для сферических функций:

$$Y_{Lm} \cdot \cos\theta = \left(\frac{(L+1)^2 - m^2}{4(L+1)^2 - 1}\right)^{1/2} \cdot Y_{L+1,m} + \left(\frac{L^2 - m^2}{4L^2 - 1}\right)^{1/2} \cdot Y_{L-1,m}. \tag{38}$$

Собирая все члены, во втором порядке теории возмущений для величины расщепления энергетических уровней в эллипсоидальном микрокристалле окончательно получим:

$$E_{nLm} - E_{nL}^{(0)} = 4\alpha^{2}\beta^{2} \left(\frac{m^{2}}{L(L+1)} - \frac{1}{3}\right)^{2} \frac{L^{2}(L+1)^{2}}{(2L-1)^{2}(2L+3)^{3}} \times \times \sum_{n'=0}^{\infty} \frac{\left[\int_{0}^{R} R_{n'L} R_{nL} r dr\right]^{2}}{E_{nL}^{(0)} - E_{n'L}^{(0)}} - \frac{11\beta^{2}}{9} E_{nL}^{(0)} + \frac{20\beta^{2}}{3} \left(\frac{m^{2}}{L(L+1)} - \frac{1}{3}\right) \times \times \frac{L(L+1)}{(2L-1)(2L+3)} E_{nL}^{(0)} + \frac{9\beta^{2}}{(2L-1)(2L+1)(2L+3)} \times \left(\frac{(L^{2}+2L-m^{2})^{2}-1}{2L+5} + \frac{(L^{2}-m^{2}-1)^{2}-1}{2L-3}\right) E_{nL}^{(0)}.$$
(39)

Чтобы не иметь дело с бесконечным рядом от интеграла, неинтегрируемого в квадратурах, поступим следующим образом.

Рассмотрим сферический микрокристалл радиуса

$$\rho_{Lm} = R(1 + \varepsilon_1 \beta + \varepsilon_2 \beta^2), \tag{40}$$

где $R=(a^2c)^{1/3}$, а ϵ_1 , ϵ_2 —некоторые константы. Уравнение границы есть

$$x^{2} + y^{2} + z^{2} = \rho_{Lm}^{2}. (41)$$

Сделаем замену

$$x \rightarrow x_0 p_{Lm}/R$$
, $y \rightarrow y_0 p_{Lm}/R$, $z \rightarrow z_0 p_{Lm}/R$. (42)

Далее, применяя теорию возмущений по параметру β, во втором погидке получим:

$$E(\rho_{Lm}) - E_{nL}^{(0)} = z^{2} s_{1}^{2} \beta^{2} \sum_{n'=0}^{\infty} \frac{\left[\sum_{0}^{R} R_{n'L} R_{nL} r dr \right]^{2}}{E_{nL}^{(0)} - E_{nL}^{(0)}} - s_{1}^{2} \beta^{2} E_{nL}^{(0)}, \tag{43}$$

где $E(\rho_{Lm})$ — энергия электрона в сферическом микрокристалле радиуса (40). Примем ϵ_2 = 0, а

$$s_1 = -2\left(\frac{m^2}{L(L+1)} - \frac{1}{3}\right) \frac{L(L+1)}{(2L-1)(2L+3)}$$
 (44)

Тогда (40) примет вид:

$$\rho_{Lm} = R\left(1 - \left(\frac{m^2}{L(L+1)} - \frac{1}{3}\right) \frac{2L(L+1)}{(2L-1)(2L+3)}\beta\right). \tag{45}$$

С учетом (43) и (44), (39) преобразуется к виду:

$$E_{nLm} = E(\rho_{Lm}) + 4\beta^{2} \left(\frac{m^{2}}{L(L+1)} - \frac{1}{3}\right)^{2} \frac{L^{2}(L+1)^{2}}{(2L-1)^{2}(2L+3)^{2}} E_{nL}^{(0)} - \frac{11\beta^{2}}{9} E_{nL}^{(0)} + \frac{20\beta^{2}}{3} \left(\frac{m^{2}}{L(L+1)} - \frac{1}{3}\right) \frac{L(L+1)}{(2L-1)(2L+3)} E_{nL}^{(0)} + \frac{9\beta^{2}}{(2L-1)(2L+1)(2L+3)} \left(\frac{(L^{2}+2L-m^{2})^{2}-1}{2L+5} + \frac{(L^{2}-m^{2}-1)^{2}-1}{2L-3}\right) E_{nL}^{(0)},$$

$$(46)$$

где ρ_{Lm} дается уже выражением (45). Из (46) следует, что учет эллипсоидальности микрокристалла, во-первых, снимает вырождение энергии примесных состояний по модулю квантового числа m, во-вторых, уменьшает межуровневое расстояние, а сами уровни смещаются вверх или вниз в зависимости от размера микрокристалла. Например, для основного состояния

$$E_{100} = (1 - 0.63\beta^2) E_{10}^{(0)}$$
 (47)

Для волновых функций поправка первого порядка, как известно, определяется выражением

$$\Psi_{nLm}^{(1)} = \sum_{n'L'm'} \frac{\langle n'L'm'|\hat{V}_1|nLm\rangle}{E_{nL}^{(0)} - E_{n'L'}^{(0)}} \Psi_{n'L'm'}^{(0)}. \tag{48}$$

Но матричный элемент, стоящий под знаком суммы в (48), дается выражением (23), поэтому при учете эллипсоидальности волновые функции электрона в первом порядке теории возмущений представ-

ляются в виде волновых функций в сферическом микрокристалле радиуса (45).

Отметим, что величина в может быть выражена через параметры

эллипсоида:

$$\beta = -3 \frac{2a/c + 1 - (10a/c - (2a/c - 1)^2)^{1/2}}{4a/c - 1} \approx \frac{c - a}{c}.$$
 (49)

При этом $a/c < 1 \Rightarrow \beta > 0$ в случае вытянутого эллипсоида, а в случае сплюснутого— $a/c > 1 \Rightarrow \beta < 0$.

ЛИТЕРАТУРА

- 1. D. S. Chuu, C. M. Hsiao, W. N. Mei. Phys. Rev. B., 46, 3898 (1992).
 - 2. L. Brus. Appl. Phys. A., 53, 465 (1991).
 - 3. А. И. Екимов, Ал. Л. Эфрос. ФТТ, 31, №8, 192 (1989).
 - 4. Л. Д. Ландау, Е. М. Лифшиц. Квантовая механика. М., Наука, 1974.

ON THE THEORY OF IMPURITY STATES IN THE ELLIPSOIDAL MICROCRYSTALS

A. S. GASPARIAN, E. M. KAZARIAN

The energy states and wave functions of a hydrogen-like impurity placed in the geometric center of a semiconductor microcrystal of ellipsoidal shape are investigated by the method of perturbations theory.

ԷԼԻՊՍՈՒԴԱՑԻՆ ՄԻԿՐՈԲՑՈՒՐԵՂՆԵՐՈՒՄ ԽԱՌՆՈՒՐԴԱՑԻՆ ՎԻՃԱԿՆԵՐԻ ՏԵՍՈՒԹՑԱՆ ՄԱՍԻՆ

u. u. quunursur, f. v. qugursur

Խոտորումների քվանտային տեսությամբ ուսումնասիրված են էլիպսոիդային ձևի կիսահաղորդչային միկրոթյուրեղներում ջրածնանման խառնուրդի վիճակները եռաչափ անվերջ պոտենցիալ հորի մոտավորությամը։ **УДК 530.01**

ОСНОВНЫЕ УРАВНЕНИЯ ЭЛЕКТРОМАГНИТОДИНАМИКИ И ДВА СЛУЧАЯ ИХ ПРИЛОЖЕНИЯ

Г. Л. АРЕШЯН

Государственный инженерный университет Армении

(Поступила в редакцию 21 июня 1996 г.)

Даются основные векторные дифференциальные уравнения электромагнитодинамики, полученные из тензорных уравнений при наличии электрических и магнитных зарядов. Постулируются интегральные выражения векторов-потенциалов. Получены уравнения электромагнитных полей в вакууме и в пространстве, содержащем проводящее электрическое вещество.

1. Основные уравнения

Основные векторные дифференциальные уравнения, которые получаются из тензорных уравнений работы [1] в системе MKS имеют вид:

$$E = -\frac{\partial A}{\partial t} - \operatorname{grad}\varphi_e, \quad H^* = -\frac{\partial K}{\partial t} - \operatorname{grad}\varphi_g, \quad (1)$$

$$B = rotA$$
, $D^* = rotK$, $divB = 0$, $divD^* = 0$, (2)

$$rotE = -\frac{\partial B}{\partial t}, rotH^* = -\frac{\partial D^*}{\partial t}, \qquad (3)$$

$$rotH - \frac{\partial D}{\partial t} + cnrotD^* - \frac{n}{c} \frac{\partial H^*}{\partial t} = \delta, \tag{4}$$

$$cnrotB - \frac{n}{c} \frac{dE}{\partial t} + rotE^* - \frac{dB^*}{\partial t} = x, \qquad (5)$$

$$\operatorname{divD} + \frac{n}{c}\operatorname{divH}^* = \rho_e, \frac{n}{c}\operatorname{divE} + \operatorname{divB}^* = \rho_g, \tag{6}$$

$$B=\mu'\mu_0H, D=\epsilon'\epsilon_0E, B^*=\mu'_g\mu_0H^*, D^*=\epsilon'_g\epsilon_0E^*, \tag{7}$$

$$\delta = \sigma E, x = \sigma_g H^*.$$
 (8)

Сила Лоренца на вещественную частицу, имеющую электрический заряд e и, одновременно, магнитный заряд g, равна

$$\mathbf{f} = \frac{d\mathbf{p}}{dt} = e\mathbf{E} + e[\mathbf{v}\mathbf{B}] + g\mathbf{H}^* + g[\mathbf{v}\mathbf{D}^*], \tag{9}$$

где р-импульс, [ab]=a×b-векторное произведение.

Плотность энергии электромагнитных полей:

$$w = \frac{1}{2} \left(ED + HB + E*D* + H*B* + \frac{2n}{c} EH* + 2ncBD* \right). \tag{10}$$

Вектор Пойнтинга потока плотности энергии

$$\Pi = [EH] + [H^*E^*] + nc[H^*B] + nc[H^*B]. \tag{11}$$

Связь между ти П:

$$\frac{\partial w}{\partial t} = -\left(\delta \mathbf{E} + \mathbf{x} \mathbf{H}^*\right) - \operatorname{div} \mathbf{\Pi}. \tag{12}$$

Постоянная взаимодействия [2]

$$n = \frac{\mu_0}{\varepsilon_0} \cdot \frac{e_0^4}{(4\pi\hbar)^2} = 5,32501 \cdot 10^{-5}, \tag{13}$$

Наименования и размерности векторов и коэффициентов, использованных в вышеприведенных уравнениях, даются в Приложении.

2. Векторы-потенциалы

Уравнения (4) и (5) для стационарных токов и вакуума примут вид

$$\left. \begin{array}{l} \operatorname{rot} H + c n \epsilon_0 \operatorname{rot} E^* = \delta, \\ c n \mu_0 \operatorname{rot} H + \operatorname{rot} E^* = \kappa. \end{array} \right\}. \tag{14}$$

Решая систему для случая отсутствия магнитных токов (x=0), получаем

$$rotH = \frac{\delta}{1-n^2}, \quad rotE^* = -\frac{cn\mu_0\delta}{1-n^2}. \tag{15}$$

В случае отсутствия электрических токов (δ =0) следует

$$rotH = -\frac{cn\varepsilon_0 x}{1-n^2}, \quad rotE^* = \frac{x}{1-n^2}. \tag{16}$$

Умножая уравнения (15) на элемент площади и интегрируя, получаем:

$$\int_{s} \text{rotH} dS = \int_{L} H dI = \frac{1}{1 - n^{2}} \int_{s} \delta dS = \frac{I_{e}}{1 - n^{2}},$$
 17)

$$\int_{I} E^* dl = -\frac{cn\mu_0}{1 - n^2} I_e , \qquad (18)$$

где $I_e(A)$ — электрический ток, проходящий через поверхность S, натянутую на контур L.

В случае прямого бесконечно длинного провода с током , полу-

чаем из (17) и (18) для напряженностей (после интегрирования по окружности радиуса r вне провода)

$$H_{\varphi} = \frac{1}{2\pi r(1-n^2)} I_e, \quad E_{\varphi}^* = \frac{-cn\mu_0}{2\pi r(1-n^2)} I_e. \tag{19}$$

Аналогично, в случае длинного провода с магнитным током $I_g(B)$ из уравнений (16) находим

$$H_{\varphi} = \frac{-cn\varepsilon_0}{2\pi r(1-n^2)} I_g, \quad E_{\varphi}^* = \frac{1}{2\pi r(1-n^2)} I_g. \tag{20}$$

Из уравнений (15) следует, что при генерации электрических и магпитных полей только электрическими токами ($\mathbf{x} = 0$), с точностью до аддитивной постоянной, имеем

$$E^* = -cn\mu_0 H. \tag{21}$$

А из уравнений (16), только для магнитных токов (δ =0), получаем H= $-cn\varepsilon_0$ E^* . (22)

Принимая во внимание полученные выражения (19) и (21), можем постулировать следующие интегральные выражения для векторовпотенциалов (аналоги закона Био-Савара) для электрических токов и их плотностей:

$$A = \frac{\mu_0 I_e}{4\pi (1-n^2)} \int_L \frac{d1}{r} , \quad A = \frac{\mu_0}{4\pi (1-n^2)} \int_v \frac{\delta dv}{r}$$
 (23)

$$K = \frac{-nI_e}{4\pi(1-n^2)c} \int_L \frac{d1}{r} , \quad K = \frac{-n}{4\pi(1-n^2)c} \int_v \frac{\delta dv}{r} .$$
 (24)

В случае генерации электрических и магнитных полей магнитными токами и их плотностями (см. уравнения (20) и (22)) постулируем следующие выражения для векторов-потенциалов:

$$A = \frac{-nI_g}{4\pi(1-n^2)c} \int_L \frac{d1}{r}, \quad A = \frac{-n}{4\pi(1-n^2)c} \int_V \frac{\pi dv}{r}, \quad (25)$$

$$K = \frac{\varepsilon_0 I_g}{4\pi (1-n^2)} \int_L \frac{d1}{r}, \quad K = \frac{\varepsilon_0}{4\pi (1-n^2)} \int_{\sigma} \frac{\varkappa dv}{r}. \quad (26)$$

В уравнениях (23) \div (26) считается, что точка наблюдения M, для которой определяется вектор-потенциал, находится в вакууме ($\epsilon'=1$, $\mu'=1$ и т. д.), Легко показать, что, используя уравнение (23) для случая бесконечно длинкого тонкого провода с током I_e и уравнение $H=\frac{1}{\mu_0}$ гот M (см. уравнение (2)), получаем то же самое выражение для H_{φ} , что и в уравнении (19)).

3. Электромагнитные волны в вакууме, волновые уравнения

Определяя из двух основных уравнений (3) и (5) rotH и rotE*, получаем для вакуума

$$rotH = \varepsilon_0 \frac{\partial E}{\partial t}, \quad rotE^* = \mu_0 \frac{\partial H^*}{\partial t}. \tag{27}$$

С учетом уравнений (3) имеем

$$rotrotH = -\frac{1}{c^{2}} \frac{\partial^{2}H}{\partial t^{2}}, \quad rotrotE^{*} = -\frac{1}{c^{2}} \frac{\partial^{2}E^{*}}{\partial t^{2}}. \tag{28}$$

Уравнения (6) для вакуума (ре=0, рg=0) дают

$$divD=0$$
, $divB^*=0$. (29)

Тогда из уравнений (28) получаем окончательно, учитывая (29):

$$\nabla^2 \mathbf{H} = \frac{1}{c^2} \frac{\partial^2 \mathbf{H}}{\partial t^2}, \quad \nabla^2 \mathbf{E}^* = \frac{1}{c^2} \frac{\partial^2 \mathbf{E}^*}{\partial t^2}, \tag{30}$$

где ∨2-оператор Лапласа.

Уравнения (30) решаются независимо друг от друга. Векторы Е и Н* спределяются по уравнениям (3) либо по (27). Связь между электромагнитными полями (E, H) и (E*, H*) будет определяться уравнением (21), если они генерированы в источнике электрическими плотностями токов и уравнением (22)—если они генерированы магнитными плотностями токов и Вычисляя составляющие плотностей энергий по уравнению (10), получаем матрицу

$$W = W_0 \left\| \begin{array}{cc} 1 & -n^2 \\ -n^2 & n^2 \end{array} \right\|,$$

где для электромагнитных волн, испущенных антенной с электрическими токами

$$W_0 = \frac{1}{2} s_0 E^2 + \frac{1}{2} \mu_0 H^2,$$

а для электромагнитных волн, испущенных антенной с магнитными токами

$$W_0 = \frac{1}{2} s_0(E^*)^2 + \frac{1}{2} \mu_0(H^*)^2$$
.

Составляющие матрицы $W_{12} = -n^2 W_0$ и $W_{21} = -n^2 W_0$ определяют плотности энергий взаимодействия полей (E, H) и (E^*, H^*) .

4. Уравнения электромагнитных полей в проводнике из электрического вещества

Получим уравнения для векторов электромагнитных полей в проводящей электрической среде ($\sigma \neq 0$, $\sigma_g = 0$), свободной от электрических и магнитных зарядов ($\rho_c = 0$, $\rho_g = 0$). Электрическими токами смещения $\partial D/\partial t$ по сравнению с токами проводимости пренебрегаем ввиду их малости. Магнитные токи смещения $\partial B^*/\partial t$, несмотря на их малость, будем учитывать для выяснения их влияния.

Так как $\sigma_g = 0$, то всюду x=0, а $\delta = \sigma E$.

Уравнения (4), (5) и (6) при всех этих условиях и записанные для комплексных функций от ехр $(j \infty t)$ имеют вид:

$$\left\{ \begin{array}{l}
 \text{rot}\dot{\mathbf{H}} + cn\mathbf{s}_{g}\text{rot}\dot{\mathbf{E}}^{*} - j\omega\frac{n}{c}\dot{\mathbf{H}}^{*} - \sigma\dot{\mathbf{E}} = 0 \\
 cn\mu\text{rot}\dot{\mathbf{H}} + \text{rot}\dot{\mathbf{E}}^{*} - j\omega\mu_{g}\dot{\mathbf{H}}^{*} = 0
 \end{array} \right\}$$
(31)

$$rot\dot{\mathbf{E}} = -j\omega\mu\dot{\mathbf{H}}, \ rot\dot{\mathbf{H}}^* = -j\omega\varepsilon_g\dot{\mathbf{E}}^*. \tag{32}$$

Беря от уравнений (32) гот, подставляя в (31) и учитывая также, что при $\rho_e = 0$ и $\rho_g = 0$ дивергенции D и B* равны нулю, получаем

$$\nabla^{2}\dot{E} + a_{1}\nabla^{2}\dot{H}^{*} + a_{2}\dot{H}^{*} - a_{3}\dot{E} = 0,$$

$$b_{1}\nabla^{2}\dot{E} + \nabla^{2}\dot{H}^{*} + b_{3}\dot{H}^{*} = 0,$$
(33)

где

$$a_1 = cn\mu, \ a_2 = \frac{n\omega^2\mu}{c^2}, \ a_3 = j\sigma\omega\mu,$$

$$b_1 = cn\varepsilon_g, \ b_3 = \omega^2\varepsilon_g\mu_g. \tag{34}$$

Решая систему (33), получаем для векторов **É** и **H*** следующее уравкение:

$$(c_1\nabla^4-c_2\nabla^2-c_3)\dot{F}=0,$$
 (35)

где F=E либо H* и

$$c_{1} = 1 - a_{1}b_{1} = 1 - n^{2}c^{2}\mu\epsilon_{g}, c_{2} = a_{3} - b_{2} - a_{2}b_{1},$$

$$c_{2} = j\sigma\omega\mu - \omega^{2}\epsilon_{g}\mu_{g} + n^{2}\omega^{2}\epsilon_{g}\mu, c_{3} = a_{3}b_{2} = j\sigma\omega^{3}\mu\epsilon_{g}\mu_{g}.$$
(36)

Если пренебречь магнитными токами смещения $\partial B^*/\partial t = 0$, то в системе (33) необходимо принять $a_2 = 0$, $q_3 = 0$. Тогда получаем вместо (35)

$$((1-n^2c^2\mu\varepsilon_g)\nabla^2-j\omega\sigma\mu)\dot{\mathbf{F}}=0$$
(37)

и следующую связь между É и Н* с точностью до аддитивной постоянной

$$\dot{H}^* = -cn\varepsilon_g \dot{E}$$
. (38)

Общеизвестные Максвелловские уравнения для проводящей среды при пренебрежении токами смещения получаются из уравнения (37) при устремлении постоянной взаимодействия $n \rightarrow 0$, что дает

$$(\nabla^2 - j\omega\sigma\mu)\dot{\mathbf{E}} = 0.$$

5. Заключение

Представленные основные уравнения электромагнитодинамики являются обобщением уравнений электродинамики Максвелла и инверсно-сопряженных уравнений Иосифьяна [3] и позволяют исследовать стационарные и переменные электромагнитные поля, которые генерированы электрическими и магнитными зарядами и токами.

Полученные интегральные выражения электрического и магнитного векторов-потенциалов, содержащие электрические и магнитные токи (или их плотности), являются аналогами закона Био-Савара для электромагнитодинамики. Причем электрический ток обусловливает как электрический вектор-потенциал A, который отличается от своего аналога множителем $(1-n^2)^{-1}$, так и магнитный вектор-потенциал K.

Исследование распространения электромагнитных полей в вакууме показало, что, котя волновые уравнения для электромагнитных полей (Е. Н) решаются независимо от волновых уравнений для полей (Е*, Н*), энергетические характеристики этих полей взаимосвязаны и обусловлены тем, каким током (электрическим либо магнитным) генерированы эти поля в первоисточнике.

Гармонические электромагнитные поля в проводящем электрическом веществе при пренебрежении только электрическими токами смещения описываются дифференциальными уравнениями в частных производных четвертой степени. Степень дифференциальных уравнений понижается до второй, если не учитываются также и магнитные токи смещения. Однако даже и в этом случае уравнения отличаются от известного уравнения электродинамики коэффициентом при операторе ∇^3 , равном $1-n^2c^3\mu^c g=1-n^2\mu^\prime s_g$.

Приложение

 $e(A \cdot cek), g(B \cdot cek),$ – электрический и магнитный свободные зар. (A · сек · М-3) ряды и их плотности, $\rho_R(B \cdot \text{cek} \cdot M^{-3}),$ $\mathbf{E}, \mathbf{E}^* (\mathbf{B} \cdot \mathbf{M}^{-1})$ —векторы электрических напряженностей, H, H* (A · M-1) векторы магнитных напряженностей, D, D* (A · ceκ · M-2) векторы электрических индукций, B, B* (В · сек · М-2) векторы магнитных индукций, $\delta(A \cdot M^{-2}), \kappa(B \cdot M^{-2})$ -векторы плотности электрического и магнитного токов проводимости, $\varphi_e(B), \varphi_g(A)$ скалярные электрический и магнитный потенциалы,

A(В · сек · М-1), К(А · сек · М-1) —электрический и магнитный векторы-потенциалы, E = E' . E, Eg = E' . E0 - электрические проницаемости электрических и магнитных сред. μ=μ' · μο, με=μ, · μο —магнитные проницаемости электрических и магнитных сред. En=8,854 · 10-12(A · B-1 · —электрическая и магнитная проницаемости \cdot сек · М⁻¹), $\mu_0 = 4\pi \cdot 10^{-7}$ вакуума, (B · A-2 · cek · M-1) ε', ε', μ', μ', относительные безразмерные проницаемости среды, $c = (\varepsilon_0 \mu_0)^{-1}/2 (M \cdot ce\kappa^{-1})$ -скорость света в вакууме. $\sigma(A \cdot B^{-1} \cdot M^{-1}), \tau_g(B \cdot$ $\cdot A^{-1} \cdot M^{-1}$ – электрическая и магнитная проводимости.

ЛИТЕРАТУРА

- 1. Г. Л. Арешян. ДАН Арм.ССР, 66, № 1, 222 (1978).
- 2. Г. Л. Арешян. Изв. НАН Армении, Физика, 30, № 6, 249 (1995).
- 3. А. Г. Иосифьян. ДАН Арм.ССР, 55, № 2, 98 (1972)

ԷԼԵԿՏՐԱՄԱԳՆԻՍԱԴԻՆԱՄԻԿԱՑԻ ՀԻՄՆԱԿԱՆ ՀԱՎԱՍԱՐՈՒՄՆԵՐԸ ԵՎ ՆՐԱՆՑ ԿԻՐԱՌՄԱՆ ԵՐԿՈՒ ԴԵՊՔԸ

9. L. UPBTBUL

Տրված են էլեկտրամագնիսադինամիկայի հիմենական վեկտորական դիֆերենցիալ հավասարումները, ստացված տենզորային հավասարումներից էլեկտրական և մագնիսական լիցբերի առկայության դեպքում։ Պոստուլացվում են վեկտոր-պոտենցիալների ինտեգրալային արտահայտությունները։ Ստացված են էլեկտրամագնիսական դաշտերի հավասարումները վակուումում և տարածության մեջ, որը պարունակում է էլեկտրահաղորդիչ նյութ։

BASIC EQUATIONS OF ELECTROMAGNETODYNAMICS AND TWO CASES OF THEIR APPLICATION

G. L. ARESHIAN

Basic vector differential equations of electromagnetodynamics are given derived from tensor equations in the presence of electric and magnetic charges. The integral expressions for vector-potentials are postulated. Electromagnetic fields' equations are obtained for vacuum and conducting electric matter containing space.

УДК 548.732

ВОЗБУЖДЕНИЕ К И L УРОВНЕЙ АТОМОВ МОДУЛИРОВАННЫМИ РЕНТГЕНОВСКИМИ ПУЧКАМИ

м. а. навасардян, о. с. семерджян, р. ц. габриелян

Ереванский государственный университет

(Поступила в редакцию 14 июня 1996 г.)

Используя модулятор рентгеновского излучения и применяя MoK_{α} и CuK_{α} излучения в качестве модулированных и возбуждающих пучков, возбуждено большое число атомов со средними и сравнительно большими атомными иомерами. Зарегистрировано рентгенфлуоресцентное излучение K_{α} , L_{α} , L_{β} диний атомов. Флуоресцирующий образец находился в атмосфере и обычно располагался на растоянии 5 мм от кристалла-сцинтиллятора у входа детектора излучения.

В работах [1-3] описан практичный модулятор рентгеновского излучения с мощными потоками фотонов, работающий в области тонкого кристалла, а именно, при µt≤1 (µ-коэффициент поглощения, t—толщина кристалла). Проходящий пучок при μt =0,7 уменьшается всего в два раза. При наличии таких мощных потоков дифрагированного излучения (несколько миллионов фотонов в секунду для рентгеновской трубки или несколько десятков миллионов фотонов для синхротонного излучения) естественно ожидать применения таких модулированных пучков в качестве инструмента для изучения разных пропессов, происходящих во временном масштабе в атомных системах или в атомах, в частности, в веществах, находящихся в разных агрегатных состояниях-рентгенфлуоресценция и люминесценция кристаллов, жидкостей, газообразных или плазменных сред. Этому способствует также то обстоятельство, что в вышеуказанных работах [1-3] паряду с модулированным пучком разработано приемное устройство с хорошей интегрирующей электрической цепью, состоящей в основном из индуктивностей и емкостей, величины которых можно изменять, исходя из требований данной задачи.

В данной работе была поставлена задача: попытаться возбудить K и L уровни некоторых атомов, для которых энергия K или L-краев поглощения меньше, чем энергия фотона K_{α} линии молибдена или меди, применяемых в качестве модулированного пучка, а также регистрировать рентгенфлуоресцентные излучения, испускаемые возбужденными атомами, и оценить интенсивности этих пучков в зависимости от атомного номера исследуемых атомов и от расстояний возбужденного вещества от детектора.

Схема эксперимента показана на рис. 1, где из источника рентгеновского излучения (1) пучок (2) направляется на кристалл-моду-

e i se a recent escale continue

лятор (3), установленный с помощью гониометра (4) в отражающее положение по Лауэ. В модуляторе образуется дифрагированный рентгеновский пучок (7), который направляется на образец (8). Для превращения пучка (7) в модулированный пучок из системы низкочастотного (5) и высокочастотного (6) генераторов модулированное электрическое колебание подается на кристалл-модулятор, в котором под воздействием возникающих модулированных акустических колебаний на модуляторе (3) пучок (7) осциплирует согласно низкочастотным колебаниям от генератора (5).

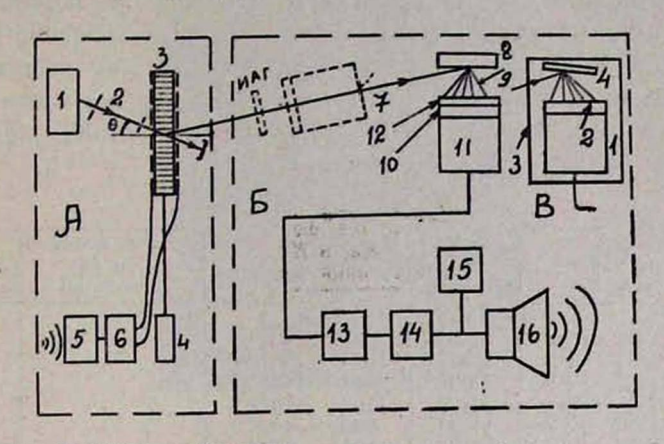


Рис. 1. Схема возбуждения и регистрации флуоресцентного излучения. А—модулированная часть рентгеновского излучения, Б—приемная часть модулированного флуоресцентного пучка с флуоресцирующим образцом. 1—источник рентгеновского излучения, 2—первоначальный падающий пучок, 3—кристалл-модулятор 'с электродами, 4—гониометр, 5—низкочастотный генератор (или микрофон), 6—высокочастотный генератор, 7—падающее монохроматическое и модулированное излучение, 8—флуоресцирующий образец, 9—флуоресцентный пучок, 10—сцинтиллятор на основе Nal(TI) с бериллиевой заслонкой (12), 11—детектор, 13—интегрирующая схема, 14—усилитель, 15—осциллограф, 16—громкоговоритель. В—детектор (1) с антраценом (2), бумажным футляром (3) и образцом (4), испускающим длинноволновое рентгеновское излучение

Под воздействием этого пучка в образце (8) формируется модулированный флуоресцирующий пучок (9), который, преобразуясь в сцинтилляторе (10) в световые кванты и пройдя через детектор (11) с бериллиевым покрытием (12), преобразуется в электрические импульсы. Эти импульсы группируются согласно такту низкочастотного колебания от генератора (5) и передаются интегрирующей схеме (13), в которой сгруппировавшиеся индивидуальные электрические импульсы формируют аналоговые сигналы. После этого сигналы от интегрирующей схемы передаются к усилителю (14), а затем к осциллографу (15) и громкоговорителю (16). Работа выполнялась на дифрактометре ДРОН-3 со сцинтилляционным счетчиком БДС-6.

В таблице представлен список атомов, подвергшихся воздействию модулированного пучка. Часть этих атомов (веществ) находилась в

чистом атомарном состоянии (Mo, Y, Ge, Zn, Cu, Fe, Cr, Si, Al, Mg, Ag, Cd, Sn, I, Ta, W, Au, Pb, Bt), а другая часть—в составе химического соединения: $Zr(ZrSiO_4), Y(Y_3Al_5O_{12}), Br(AgBr), Ga(GaP), Ca(CaCO_3), K(KCl), Cl(NaCl). В таблице представлены энергии фотонов <math>K_{a_1}$, K_{a_2} , L_{a_1} , L_{β_1} линий и энергия K-, L_{II} -, L_{III} -краев поглощения этих атомов. Знаком (+) указаны атомы (вещества), у которых обнаружено рентгенфлуоресцентное модулированное излучение (сцинтиллятор из Nal(Tl)), а знаком (-)—атомы (вещества), у которых гакое излучение этим сцинтиллятором (Elloweta) не зарегистрировано-Список атомов разделен на две части: в верхней половине расположены атомы, K-край поглощения которых меньше, чем энергия фотонов MoK_a линии. а в нижней части энергия K-края поглощения соответствующих атомов больше, чем энергия фотонов MoK_a линии. У последних возбуждаются L_{a_1} , L_{β_1} линии.

	эл	Химический элемент и харак- тер эхо			Энергия К-края, эВ	Энергия фотонов Ка1 и Ка, линий, эВ		Энергия фотонов		Энергия L _{II} —L _{III} -краев поглощения, эВ	
a)	1 2 3 4 5 6 7 8 9 10 11 12 13 14 15 16 17 18	Y Br Ge Ga Zn Cul Fe Cr Ga K Cl Si Al Mg	(42) (40) (39) (35) (32) (31) (30) (29) (28) (26) (24) (20) (17) (14) (13) (12) (11)		20004 17999 17038 13470 11104 10368 9661 8332 7709 6538 5989 4038 3608 2819 1840 1560 1303 1072		17374 15691 14883 11878 9886 9225 8616 8028 7460 6391 5405 3688 3311 2620 1739 1486 253				
6)	19 20 21 22 23 24 25 26 27 28 29	Cd In Sn I Gd Ta W Au Pb	(47) (48) (49) (50) (53) (64) (73) (74) (79) (82) (83)	££££££11111	25516 26716 27942 29195 33167 50233 67403 69508 80720 88005 90534	22163 23174 24210 25271 28612 42996 57532 59318 68804 74969 77108	21990 22984 24002 25044 28317 42310 56277 57981 66990 72804 74815	10551	3150 3316 3487 3662 4220 6713 9343 9672 11442 12613 13023	3525 3728 3939 4157 4854 7931 11132 11538 13736 15205 15719	3350 3537 3730 3928 4558 7243 9876 10199 11921 13040 13426

Наиболее интенсивным получается рентгенфлуоресцентное излучепие иттрия (У) при использовании MoK_a излучения, т. к. максимум в графике коэффициента поглощения иттрия совпадает с длиной волны K_a линии молибдена [4]. Флуоресцентное излучение регистрировалось под углом $\sim 90^\circ$ по отношению к падающему пучку (7). Образец иттрий-алюминиевого граната (ИАГ) $Y_3Al_5O_{12}$ располагался также на пути модулированного пучка таким образом, чтобы пучок, проходя через образец ИАГ, возбуждал в нем флуоресцентное излучение. На рис. 2a, б показаны модулированные пучки от ИАГ и от свинца (Pb) соответственно.

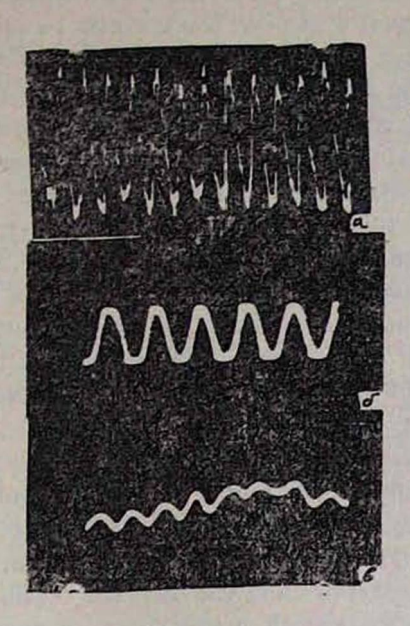


Рис. 2. Картина модулированного флуоресцентного излучения от развых образцов: а) ИАГ $(E_{\kappa-\kappa pa\hat{n}} < \langle E_{h^{\nu}Mo} \rangle$, б) свинец $(E_{\kappa-\kappa pa\hat{n}} < \langle E_{h^{\nu}Mo} \rangle$, в) Ад при использовании сцинтиллятора антрацена $(C_{14}H_{10})$ $(E_{\kappa-\kappa pa\hat{n}} < \langle E_{h^{\nu}Mo} \rangle$.

Так как генерированное флуоресцентное излучение распространяется по всему телесному углу, то при приближении кристаллической пластинки ИАГ к кристаллу-модулятору интенсивность пучка, попадающего на сцинтиллятор, уменьшается и картина модуляции исчезает, и наоборот, при приближении ИАГ к сцинтилляционному счетчику появляется картина модуляции, и звуковая передача восстанавливается.

Из таблицы видно, что не регистрируются излучения от тех атомов, у которых K_{α} , L_{π_1} , L_{β_1} линии в основном поглощаются бериллиевым окном сцинтиллятора. Знаком (—) указаны именно такие атомы, у которых интенсивность флуоресцентного излучения, дошедшего до сцинтиллятора Nal~(Tl), настолько слаба, что модуляция не воспроизводится. Одним из ярких примеров таких атомов являются атомы железа; от Fe наблюдается чрезвычайно слабый пучок без малейшего намека на модуляцию, несмотря на то, что K_{α} линия железа (λ =1,936Å) не очень сильно поглощается бериллием. Неожиданно

ведет себя и серебро. В случае Ag имеется значительное количество рассеянных фотонов ($\lambda_{L_{\alpha}}$ =4,154Å), но регистрируется чрезвычайно слабая модуляция. Поэтому нами Ag был включен в список атомов со знаком (—). Справочные данные были взяты из [4].

Для регистрации фотонов от атомов со знаком (—) применялся сцинтиллятор другой конструкции с использованием антрацена ($C_{14}H_{10}$). Так как последний не боится влаги, он не покрывается бериллием, и фактор поглощения устраняется. В этом случае флуоресцирующий образец располагался внутри футляра счетчика (футляр был сделан из черной бумаги) так. что между образцом и сцинтиллятором находился только тонкий слой воздуха (см. рис. 1в). При такой конструкции сильно расширяется спектр регистрируемых фотонов. На рис. 2в показана картина модуляции от образца Ag при последней конструкции сцинтиллятора. Модуляция сильно флуоресцирующих образцов (Y, $Y_2Al_5O_{12}$, Ge, Pb и т.д.) регистрируется даже при расстоянии образца 15-20 мм от сцинтиллятора.

На легких атомах (*H*, *Li*, *Be*, *B*, *C*) образуются мощные потоки комптоновских фотонов. Но вопрос комптоновского рассеяния рассмотрен в другой нашей работе, которая уже представлена для опубликования. Здесь отметим только одно обстоятельство: этим способом удалось зарегистрировать модулированное комптоновское излучение даже от нескольких жидкостей, в частности, от воды.

Используя модулированные пучки с различной частотой модуляции, изучались также сцинтилляционные кристаллы с различными временами релаксации. Такой способ обеспечивает простое и легкодоступное изучение важных временных характеристик сцинтилляторов (жидких или твердых).

Таким образом, геометрия настоящего эксперимента и модудированный пучок дают возможность, во-первых, изучать временные характеристики люминесцирующих и флуоресцирующих объектов, и вовторых, исследовать образцы в атмосферных условиях (т. е. минуя вакуумную часть установок). Эти преимущества дают возможность сильно расширить область применения метода рентгеноспектроскопических исследований.

ЛИТЕРАТУРА

- М. А. Навасардян, П. А. Безирганян, К. Т. Айрапетян, С. С. Галстян. АС СССР № 1642933, 15.12.1990 г.
- М. А. Навасардян, Ю. Р. Назарян, В. К. Мирзоян. Изв. АН Арм.ССР, Физика, т.14, 425 (1979).
- 3. А. Р. Миртчян, М. А. Навасардян, В. К. Мирзоян и др. АС СССР № 1327716. 01.04.1987 г.
- М. А. Блохин, И. Г. Швейцер. Рентгеноспектральный справочник. М., «Наука», 1982 г.

EXCITATION OF K- AND L-LEVELS OF ATOMS BY MODULATED X-RAY BEAMS

M. A. NAVASARDYAN, H. S. SEMERGIAN, R. Tz. GABRIELIAN

Using the X-ray modulators and applying the MoK - and CuK - radiation beams, the atoms of many elements with average and comparatively high atomic numbers were excited. X-ray fluorescence radiation of the atomic K_{α} , L_{α} , and L_{β} lines was recorded. The sample was placed in atmosphere 5 mm apart from the scintillating crystal near the input of the X-ray detector.

ԱՏՈՄՆԵՐԻ K ԵՎ L ՄԱԿԱՐԴԱԿՆԵՐԻ ԳՐԳՌՈՒՄԸ ՄՈԴՈՒԼՎԱԾ ՌԵՆՏԳԵՆՑԱՆ ՓՆՋԵՐԻ ՄԻՋՈՑՈՎ

U. U. BULLUULTBUR, 2. U. UBUBTRBUR, A. 8. PUPTFBLBUR

Օդտադործևլով ռենտդենյան ճառագայիների մոդուլարարներ և որպես մոդուլված և գրգռվող փնջեր կիրառելով MoKa և CuKa ճառագայիները գրգռվել են միջին և մեծ ատոմային հաժարների մեծ իվով թիմիական նյուների ատոմներ։ Գրանցվել են ատոմների ռենտգենաֆլուտ-րենսցենտային ճառագայիների Ka, La, L3 գծերը։ Ֆլուորենսցենցող նմուշը դանվել է մըն-նոլորտային պայմաններում, սովորաբար դետեկտորի մուտջին տեղադրված սցինտիլյացիոն բյուրեղից 5մմ հեռավորունվան վրա։

УДК 548.0:532.783

О НЕКОТОРЫХ ОПТИЧЕСКИХ СВОЙСТВАХ СРЕД СО СПИРАЛЬНОЙ ДИХРОИЧНОЙ СТРУКТУРОЙ

г. а. варданян, а. а. геворгян, ж. о. ниноян

Московский государственный университет Ереванский государственный университет

(Поступила в редакцию 8 августа 1995 г.)

Рассмотрены зависимости поляризационных характеристик сред со спиральной дихроичной структурой от анизотропии поглощения. Обнаружена резонансоподобная зависимость вращения от анизотропии поглощения. Изучено влияние диэлектрических границ на оптические свойства сред со спиральной дихроичной структурой.

1. Введение

Спиральные дихроичные среды представляют собой предельный случай холестерических жидких кристаллов (ХЖК) со стремящейся к нулю локальной анизотропией преломления [1]. Рассмотрение этого предельного случая имеет важное значение, поскольку обогащает наши представления об оптике спиральных периодических структур. Эти среды обладают рядом интересных свойств [1]. Дифракция света на этих структурах обусловлена анизотропией поглощения. В обычных ХЖК при наличии анизотропного поглощения действуют два механизма дифракции: один, обусловленный анизотропией преломления, другой — анизотропией поглощения. Обычно рассматриваются случаи $\operatorname{Res}_a\gg\operatorname{Ims}_a$ (здесь $\operatorname{s}_a=(\operatorname{s}_1-\operatorname{s}_2)/2$, s_1 , s_2 -главные значения тензора диэлектрической проницаемости в плоскости, перпендикулярной оси среды), и эффекты, обусловленные анизотропией поглощения, перекрываются эффектами, обусловленными анизотропией преломления. Даже при условии Resa≤Imsa некоторые эффекты, обусловленные анизотропией поглощения, практически не могут наблюдаться в эксперименте, тогда как в изучаемых средах они могут наблюдаться также в пределах реально измеримых сигналов. Один из таких эффектов будет рассмотрен в данной работе. В работе представлены также некоторые новые результаты изучения оптических свойств этих сред.

2. Прохождение линейно-поляризованного света через слой

Рассмотрим прохождение света при нормальном его падении на слой среды со спиральной дихроичной структурой, ось которого перпендикулярна граничным поверхностям. Считая, что на образец падает линейно-поляризованный свет с составляющими электрического поля $E_x = \cos \Psi$, $E_y = \sin \Psi$, где Ψ —азимут поляризации падаю-

шей волны (т. е. угол между вектором Е и направлением директора на входной границе слоя), для компонентов амплитуд поля прошедшего через образец света получаем:

$$E_{t,y} = \{[(S \pm M)E_{x,y} \pm NE_{y,x}]\cos(ad) + [NE_{x,y} + (M \mp S)E_{y,x}]\sin(ad)\}/\Delta,$$
 (1) где $S = g\sqrt{v}[g\sqrt{v}(c_2+c_1) - iu(w_1s_1 + w_2s_2)],$

$$S = g v v[g v v(c_2 + c_1) - iu(w_1 s_1 + w_2 s_2)],$$

$$M = g h \sqrt{v} [\sqrt{v}(c_2 - c_1) - iu(q_2 s_2 - q_1 s_1)],$$

$$N = gb\sqrt{v}[ir_1(c_2-c_1)-2u\sqrt{v}(l_1s_1+l_2s_2)],$$

 $-2m_0$) $|s_1s_0-2iug\sqrt{v(w_1s_1c_0+w_0s_0c_1)}$.

$$\Delta = -b^2 r_2^2 + (b^2 r_2^2 + 2vg^2)v_1c_2 + 2u^2[v^2g^2h^2 - r_1^2(2b^2m_2 + h^2) + 4b^2v(h^2 - h^2) + 4b$$

$$m_{1,2}=1\pm b^2$$
, $r_{1,2}=1\pm v$, $l_{1,2}=g\pm 2$, $w_{1,2}=r_1(g\pm 2b^2)\pm vh^2$, $q_{1,2}=r_1\pm vg$,

$$c_{1,2} = \cos(k_{1,2}d), \quad s_{1,2} = \frac{\sin(k_{1,2}d)}{k_{1,2}d}, \quad k_{1,2} = 2u \frac{\sqrt{m_1 \pm g}}{d}, \quad u = \frac{\pi d \sqrt{\varepsilon_m}}{\lambda},$$

$$g=\sqrt{h^2+4b^2}$$
, $v=\frac{\varepsilon_m}{\varepsilon}$, $b=\frac{\lambda}{p\sqrt{\varepsilon_m}}$, $n=\frac{\varepsilon_a}{\varepsilon_m}$, $\varepsilon_m=\frac{(\varepsilon_1+\varepsilon_2)}{2}$,

 λ —длина волны в вакууме, $a=2\cdot\pi/p$, p—шаг спирали, ϵ —диэлектрическая проницаемость среды, граничащей с обеих сторон с изучаемой средой, d—толщина слоя. Формулы существенно упрощаются при v=1, т. е. при рассмотрении случая минимального влияния диэлектрических границ. В этом случае они принимают следующий вид:

$$S = g[c_{2} + c_{1} - iu(l_{1}s_{1} - l_{2}s_{2})],$$

$$M = h[c_{2} - c_{1} - iu(l_{2}s_{2} - l_{1}s_{1})],$$

$$N = 2b[l(c_{2} - c_{1}) - u(l_{1}s_{1} + l_{2}s_{2})],$$

$$\Delta = 2g[c_{1}c_{2} + l_{1}l_{2}u^{2}s_{1}s_{2} - iu(l_{1}s_{1}c_{2} - l_{2}s_{2}c_{1})].$$
(3)

Азимут поляризации φ и эллиптичность поляризации e прошедшей волны определяются следующими формулами [2]:

$$tg(2\varphi) = \frac{2Re(\chi)}{1-|\chi|^2}, \qquad (4)$$

$$e = \operatorname{tg}(\vartheta),$$
 (5)

где
$$\sin(2\theta) = \frac{2\operatorname{Im}(\chi)}{1+|\chi|^2}$$
, $\chi = E_{ty}/E_{tx}$.

Считая $ad=2\pi n, n=1, 2, ..., для <math>\chi$ получаем:

$$\chi = -\frac{2ib(f_2 - f_1)}{g(f_2 + f_1) + h(f_2 - f_1)},$$
 (6)

где $f_{1,2}=c_{1,2}\mp iul_{1,2}s_{1,2}$.

Особенности зависимостей величин ϕ и e от длины волны и толщины слоя детально изучены в работе [1].

(2)

На рис. la представлена зависимость вращения φ от анизотропия поглощения (точнее от параметра in(Im(2ε_a)) при различных длина: волн падающего света.

Из рисунка видно, что сильное (резонансоподобное) изменени вращения происходит в интервале значения параметра In(Im(2₅m) от —3 до —1. При дальнейшем увеличении анизотропии поглощения происходит «насыщение».

На рис. 16 представлена зависимость эллиптичности e от параметр: $ln(lm(2s_m))$ при тех же длинах волн падающего света.

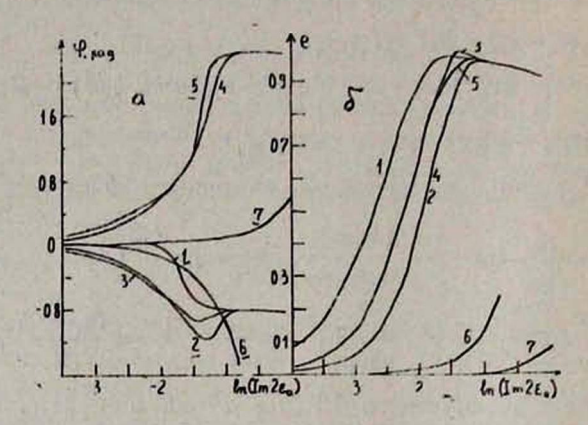


Рис. 1. Зависимость вращения φ (а) и эллиптичности е (б) от параметра $\ln(\text{Im}(2\epsilon_m))$ при различных длинах волн падающего света. 1) $\lambda_0 = p\sqrt{\text{Re}\epsilon_m} = 0.63$ мкм (длина волны дифракционного отражения), 2) 0.62 мкм, 3) 0.64 мкм (вблизи λ_0), 4) 0.4 мкм, 5) 1.0 мкм (вдали от λ_0), Параметры слоя таковы: $\text{Re}\epsilon_m = 2.25$, $\text{Re}\epsilon_a = 0$, p = 0.42 мкм, d = 50p, v = 1.

Для понимания механизма выявленных закономерностей рассмо трим более простой случай, а именно, отражение света от полупро странства, заполненного средой со спиральной дихроичной структу рой. Поле в среде на расстоянии z от границы будет иметь вид [1, 2]

$$\mathbf{E}(z,t) = [(E_1^+ e^{i(b+k_1)z} + E_2^+ e^{i(b+k_2)z})\mathbf{n}_+ (\xi_1 E_1^+ e^{i(-b+k_1)z} + \xi_2 E_2^+ e^{i(-b+k_2)z})\mathbf{n}_-]e^{-i\omega}$$

где n_{\pm} — $(x\pm y)/\sqrt{2}$ — орты круговых поляризаций, $\zeta_{1,2}=-\hbar/[1-(b+\eta_{1,2})^2]$, а амплитуды $E_{1,2}^{\pm}$ определяются из граничных условий и случае, когда на границу падает линейно-поляризованная, для кон кретности по оси x, волна, имеют вид:

(8

$$E_1^+ = -\sqrt{2}[(1+b+\eta_2) - \zeta_2(1-b+\eta_2)]/\Delta,$$

$$E_2^+ = -\sqrt{2}[\zeta_1(1-b+\eta_1) - (1+b+\eta_1)]/\Delta,$$

$$\Gamma_{\text{ME}} \Delta = \left[\frac{1+b+\eta_2}{1+b-\eta_1} - \frac{1+b+\eta_1}{1+b-\eta_2}\right]h, \ \eta_{1,2}\sqrt{m_1\pm g}.$$
 152

Из (7) следует, что поворот плоскости поляризации $\phi(z)$ может быть представлен в виде двух слагаемых, одно из которых линейно зависит от z:

$$\varphi(z) = \varphi_0(z) + az, \tag{9}$$

где фо-поворот плоскости поляризации, если поле в среде представить в виде

$$\mathbf{E}(z,t) = \left[(E_1^+ e^{ik_1z} + E_2^+ e^{ik_1z}) \mathbf{n}_+ + (\xi_1 E_1^+ e^{ik_1z} + \xi_2 E_2^+ e^{ik_1z}) \mathbf{n}_- \right] e^{-i\omega t}. \tag{10}$$

Вычисления показывают, что аналогичные (сильные) изменения величин $\varphi(z)$ и e наблюдаются также в этом случае (только амплитуды изменений разные), т. е. эти эффекты обусловлены особенностями структуры среды. Из рис. 1 видно также, что сильные изменения величин $\varphi(z)$ и e наблюдаются в областях дифракционного взаимодействия света со средой.

Как показывает детальный анализ, эти сильные изменения в зависимостях величин $\phi(z)$ и e от параметра $\ln(\operatorname{Im}(2\varepsilon_a))$ обусловлены в основном сильными изменениями амплитуд четырех циркулярно поляризованных волн, возбуждаемых в среде (см. формулы (7) или (10)), а фазовые изменения не имеют решающего значения. Физическая причина указанных закономерностей заключается в следующем. При слабой анизотропии поглощения среда ведет себя как практически изотропная (напоминаем, что Reea=0), и поэтому в среде возбуждаются только две лево- и право- поляризованные волны с одинаковыми амплитудами и с одинаковыми фазовыми скоростями. По мере увеличения анизотропии поглощения взаимодействие света со средой приобретает дифракционный характер, и быстро начинают увеличиваться амплитуды двух других циркулярно-поляризованных волн, мых в среде (на ее периодических неоднородностях). (При этом, как и в обычных спиральных средах со слабой анизотропией, амплитуда сдной из волн с недифрагирующей круговой поляризацией намного меньше амплитуд трех остальных). Это, естественно, приводит к дифракционному отражению света, увеличению эллиптичности поляризации и увеличению дифракционного вращения плоскости поляризации. При этом большую роль играют также само поглощение и разное поглощение разных собственных волн. Мнимые добавки резонансных (k_2) и нерезонансных (k_1) волновых векторов разные (это видно из выражения для k_1 и k_2), причем $Im k_1 > Im k_2$. С дальнейшим увеличегием анизотропии поглощения эта разность быстро увеличивается. Vвеличение мнимых частей k_1 и k_2 приводит к быстрому уменьшению амплитуд собственных волн, пропорциональных $\exp(-\mathrm{Im} k_{1.2}z)$, из-за того, что Imk, Imk, быстро уменьшаются и с увеличением z становятся пренебрежимо малыми те амплитуды, которые пропорциональны $\exp(-\mathrm{Im}k_{z}z)$. Поэтому при достаточной удаленности от границы, в случае большой анизотропни поглощения, поле можно представить в виде

На рис. 1а представлена зависимость вращения ϕ от анизотропии поглощения (точнее от параметра $\ln(\operatorname{Im}(2\varepsilon_a))$ при различных длинах волн падающего света.

Из рисунка видно, что сильное (резонансоподобное) изменение вращения происходит в интервале значения параметра In(Im(2ε_m)) от —3 до —1. При дальнейшем увеличении анизотропии поглощения происходит «насыщение».

На рис. 16 представлена зависимость эллиптичности е от параметра

In(Im(2sm)) при тех же длинах волн падающего света.

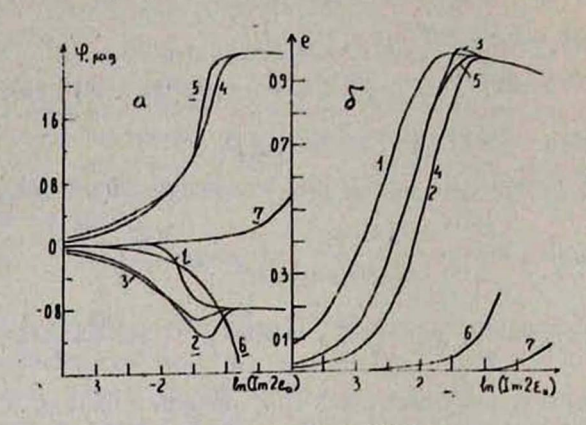


Рис. 1. Зависимость вращения φ (а) и эллиптичности е (б) от параметра $\ln(\text{Im}(2\epsilon_m))$ при различных длинах волн падающего света. 1) $\lambda_0 = p\sqrt{\text{Re}\epsilon_m} = 0.63$ мкм (длина волны дифракционного отражения), 2) 0.62 мкм, 3) 0.64 мкм (вблизи λ_0), 4) 0.4 мкм, 5) 1.0 мкм (вдали от λ_0), Параметры слоя таковы: $\text{Re}\epsilon_m = 2.25$, $\text{Re}\epsilon_a = 0$, p = 0.42 мкм, d = 50p, v = 1.

Для понимания механизма выявленных закономерностей рассмотрим более простой случай, а именно, отражение света от полупространства, заполненного средой со спиральной дихроичной структурой. Поле в среде на расстоянии г от границы будет иметь вид [1,2]:

$$E(z,t) = [(E_1^{+}e^{i(b+k_1)z} + E_2^{+}e^{i(b+k_2)z})n_{+}(\xi_1 E_1^{+}e^{i(-b+k_1)z} + \xi_2 E_2^{+}e^{i(-b+k_2)z})n_{-}]e^{-i\omega t},$$
(7)

где $\mathbf{n_{\pm}} = (\mathbf{x} \pm \mathbf{y})/\sqrt{2}$ — орты круговых поляризаций, $\zeta_{1,2} = -k/[1-(b+\eta_{1,2})^2]$, а амплитуды $E_{1,2}^{\pm}$ определяются из граничных условий и в случае, когда на границу падает линейно-поляризованная, для конкретности по оси x, волна, имеют вид:

$$E_{1}^{+} = -\sqrt{2}[(1+b+\eta_{2}) - \zeta_{2}(1-b+\eta_{2})]/\Delta,$$

$$E_{2}^{+} = -\sqrt{2}[\zeta_{1}(1-b+\eta_{1}) - (1+b+\eta_{1})]/\Delta,$$

$$r_{\text{ME}} \Delta = \left[\frac{1+b+\eta_{2}}{1+b-\eta_{1}} - \frac{1+b+\eta_{1}}{1+b-\eta_{2}}\right]h, \ \eta_{1,2}\sqrt{m_{1}\pm g}.$$

$$152$$

Из (7) следует, что поворот плоскости поляризации $\phi(z)$ может быть представлен в виде двух слагаемых, одно из которых линейно зависит от z:

$$\varphi(z) = \varphi_0(z) + az, \tag{9}$$

где фо-поворот плоскости поляризации, если поле в среде представить в виде

$$E(z,t) = [(E_1^+ e^{ik_1z} + E_2^+ e^{ik_2z})n_+ + (\xi_1 E_1^+ e^{ik_1z} + \xi_2 E_2^+ e^{ik_2z})n_-]e^{-i\omega t}.$$
(10)

Вычисления показывают, что аналогичные (сильные) изменения величин $\varphi(z)$ и e наблюдаются также в этом случае (только амплитуды изменений разные), т. е. эти эффекты обусловлены особенностями структуры среды. Из рис. 1 видно также, что сильные изменения величин $\varphi(z)$ и e наблюдаются в областях дифракционного взаимодействия света со средой.

Как показывает детальный анализ, эти сильные изменения в зависимостях величин $\varphi(z)$ и e от параметра $\ln(\operatorname{Im}(2\varepsilon_a))$ обусловлены в основном сильными изменениями амплитуд четырех циркулярно поляризованных волн, возбуждаемых в среде (см. формулы (7) или (10)), а фазовые изменения не имеют решающего значения. Физическая причина указанных закономерностей заключается в следующем. При слабой анизотропии поглощения среда ведет себя как практически изотропная (напоминаем, что Resa=0), и поэтому в среде возбуждаются только две лево- и право- поляризованные волны с одинаковыми амплитудами и с одинаковыми фазовыми скоростями. По мере увеличения анизотропии поглощения взаимодействие света со средой приобретает дифракционный характер, и быстро начинают увеличиваться амплитуды двух других циркулярно-поляризованных волн, возбуждаемых в среде (на ее периодических неоднородностях). (При этом, как и в обычных спиральных средах со слабой анизотропией, амплитуда одной из волн с недифрагирующей круговой поляризацией намного меньше амплитуд трех остальных). Это, естественно, приводит к дифракционному отражению света, увеличению эллиптичности поляризации и увеличению дифракционного вращения плоскости поляризации. При этом большую роль играют также само поглощение и разное поглощение разных собственных волн. Мнимые добавки резонансных (k_2) и нерезонансных (k_1) волновых векторов разные (это видно из выражения для k_1 и k_2), причем $Im k_1 > Im k_2$. С дальнейшим увеличегнем анизотропии поглощения эта разность быстро увеличивается. Увеличение мнимых частей k_1 и k_2 приводит к быстрому уменьшению амплитуд собственных волн, пропорциональных $\exp(-\mathrm{Im}k_{1.2}z)$, из-за того, что Imk, >Imk, быстро уменьшаются и с увеличением г становятся пренебрежимо малыми те амплитуды, которые пропорциональны $\exp(-\mathrm{Im}k_{2}z)$. Поэтому при достаточной удаленности от границы, в случае большой анизотропии поглощения, поле можно представить в виде

Модуль отношения амплитуд ξ_2 стремится к единице при $\lambda \rightarrow \lambda_0$, а при данной длине волны падающего света с увеличением анизотропии поглощения ξ_2 увеличивается и медленно стремится к единице. Так что эллиптичность поляризации медленно уменьшается с увеличением анизотропии поглощения. А поворот плоскости поляризации, как видно из (11), определяется величинами реальных и мнимых частей ξ_2 . Как показывают расчеты, с дальнейшим увеличением анизотропии поглощения разность реальных и мнимых частей ξ_2 меняется медленно, вследствие чего медленно меняется также поворот плоскости поляризации.

Рассмотренным ходом изменения амплитуд объясняется ход изменения поворота и эллиптичности не только в случае полубесконечной среды, но и для слоя среды конечной толщины.

Вычисления показывают, что аналогичные (резонансоподобные) изменения наблюдаются также в обычных средах со спиральной структурой. Но если в обычных спиральных структурах такое явление наблюдается при значениях коэффициента прохождения $T \sim 10^{-10} - 10^{-11}$, т. е. когда практически отсутствует прошедшая волна, то в этих средах это явление наблюдается при значениях T в интервале от 10^{-2} до 10^{-3} , т. е. при обозримых значениях коэффициента прохождения. Что же касается вопроса экспериментального обнаружения выявленных закономерностей, то, как нам кажется, при выборе ХЖК с возможно слабой анизотропией преломления и сильной анизотропией поглощения (при необходимости можно в ХЖК растворить соответствующий краситель) вполне возможно экспериментальное обнаружение выявленных закономерностей.

3. Влияние диэлектрических границ на амплитудные характеристики среды

Вычисление зависимости коэффициента отражения R от длины волны при v=2.25 и v=1/2.25 и сравнение этих результатов со случаем, когда v=1, показывает:

- а) результаты при v=2.25 и v=1/2.25 практически не отличаются друг от друга (например, на длине волны λ_0 разность коэффициентов отражения составляет всего $6\cdot 10^{-6}$);
- б) в случаях v = 2.25 и v = 1/2.25 происходит уширение кривой стражения и уменьшение отражения на длине волны λ_0 , соответствующее максимуму дифракционного отражения.

Таким образом, наличие диэлектрических границ эквивалентно эффективному уменьшению параметра дифракции $d \cdot h/p$. Такое явление наблюдается также в ХЖК при наличии поглощения [3]. Интересно отметить, что при отсутствии же поглощения наличие диэлектрических границ приводит к эффективному увеличению параметра dh/p.

Чтобы дать более полное представление о влиянии диэлектрических границ, полезно было изучить также зависимость оптических характеристик от ϵ . На рис. 2 представлены зависимости величин коэффициента отражения R (сплошные кр.), коэффициента прохождения T (пунктирные кр.) и величины Q=1-(R+T), характеризующей долю энергии света, поглощенной в образце (штрих-пунктирные кр.), от ϵ на различных длинах волн.

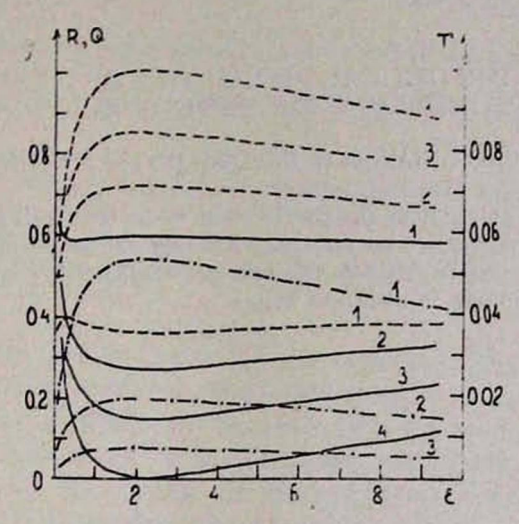


Рис. 2. Зависимость коэффициентов отражения R, прохождения T и величины Q от ϵ при различных длинах воли падающего света. 1) 0.63 мкм, 2) 0.627 мкм, 3) 0.624 мкм, 4) 0.55 мкм. Параметры слоя те же, что и на рис. 1.

В заключение отметим, что выявленный в работе [1] эффект уменьшения поглощения узлучения в среде со спиральной структурой при увеличении анизотропии поглощения проявляется также при рассмотрении задачи отражения света от полупространства, заполненного указанной средой. Действительно, если считать, что коэффициент прохождения в этом случае равен нулю, то Q=1-R. А это означает, что с увеличением анизотропии поглощения коэффициент отражения R сначала должен уменьшаться, но затем, начиная с некоторого значения, должен увеличиваться. Вычисления подтверждают сказанное.

ЛИТЕРАТУРА

- 1. Г. А. Варданян, А. А. Геворгян. Кристаллография, 42, № 3 (1997).
- Р. Аззам, Н. Башара. Эллипсометрия и поляризованный свет. Пер. с англ./Под ред. А. В. Ржанова и К. К. Свыташева. М., Мир, 1981, 584с.
- 3. А. А. Геворгян. Ученые записки ЕГУ, 3, 62 (1988).

ԴԻՔՐՈՒԿ ՊԱՐՈՒՑՐԱՑԻՆ ԿԱՌՈՒՑՎԱԾՔ ՈՒՆԵՑՈՂ ՄԻՋԱՎԱՑՐԵՐԻ ՈՐՈՇ ՕՊՏԻԿԱԿԱՆ ՀԱՏԿՈՒԹՑՈՒՆՆԵՐԻ ՄԱՍԻՆ

9. U. LUPTUVBUV, U. 2. SOLAPPBUV, J. 2. VIVABUV

Դիտարկված են միջավայրի բևնռային բնութադրերի կախվածությունները կլանման անիզոտրոպիայից։ Հայտնաբերվել է բևնռացման հարթության պտույտի և էլիպսականության ուժեղ կախվածություն կլանման անիզոտրոպիայից։ Ուսումնասիրվել է նաև դիէլեկտրիկ սահմանների ազդեցությունը միջավայրի օպտիկական հատկությունների վրա։

SOME OPTICAL PROPERTIES OF MEDIA WITH HELICAL DICHROIC STRUCTURE

G. A. VARDANIAN, A. H. GEVORGIAN, and J. H. NINOJAN

Dependences of polarization characteristics of media with helical dichroic structure on the anisotropy of absorption are discussed. A strong dependence of the rotation on the anisotropy of absorption is obtained. The influence of dielectric boundaries on the optical properties of such media is studied as well.

УДК 543.42

СРЕДНЯЯ ЭЛЕКТРООТРИЦАТЕЛЬНОСТЬ КАК УНИВЕРСАЛЬНЫЙ ПАРАМЕТР, ХАРАКТЕРИЗУЮЩИЙ ВЫСОКОТЕМПЕРАТУРНЫЕ СВЕРХПРОВОДНИКИ

В. Р. КАЛАШЯН, А. С. КУЗАНЯН, Т. М. ПАРОНЯН, В. Р. НИКОГОСЯН

Институт физических исследований НАН Армении

(Поступила в редакцию 16 ноября 1996 г.)

Основываясь на вычислении величин средней электроотрицательности большого числа высокотемпературных сверхпроводников, подтверждена необходимость нахождения этих значений в интервале 2,5—2,6. На данной основе предложено простое математическое выражение для расчета области изменения химического состава сложных оксидов, в которой возможно нахождение сверхпроводящих соединений.

Обнаружение целого ряда новых сверхпроводников, последовавшее за открытием явления высокотемпературной сверхпроводимости (ВТСП), привело к установлению различных корреляций между сверхпроводящими свойствами и физическими параметрами сложных оксидов меди [1, 2]. На этапе отсутствия микроскопической теории, списывающей ВТСП, необходимо подробно исследовать установленные корреляции с целью выявления взаимосвязей между физическими параметрами, характеризующими сверхпроводящие соединения. Решение таких задач, на наш взгляд, явится основой для разработки микроскопической теории, с одной стороны, и придаст большую направленность поиску новых сверхпроводников, с другой стороны. В данной работе рассмотрена взаимосвязь между средней электроотрицательностью и сверхпроводимостью в сложных оксидах меди.

Электроотрицательность является одним из тех параметров, с помощью которых можно описать различные физические величины, характеризующие вещество. Действительно, разница электроотрицательностей элементов химического соединения определяет энергию химической связи, степень ионности химической связи, межионные расстояния в кристаллической структуре [3,4], критическую температуру ВТСП соединений [5] и т. д. С помощью выявления взаимосвязи электроотрицательности и свехрпроводимости можно также обобщить корреляции между сверхпроводящими свойствами и другими физическими параметрами.

Взаимосвязь между электроотрицательностью и сверхпроводимостью рассмотрена в [6, 7]. В частности в [6] отмечено, что средняя электроотрицательность ВТСП соединений находится в интервале 2,5—2,6, тогда как для классических сверхпроводников— в интервале 1,5—1,6. Причем отметим, что эти условия необходимы, но не доста-

точны для проявления сверхпроводимости, так как существуют несверхпроводящие соединения, средняя электроотрицательность которых также находится в этих интервалах.

С целью проверки указанных закономерностей мы рассчитали среднюю электроотрицательность 164 ВТСП соединений, обнаруженных после опубликования данных [6], используя уравнение

$$z = \sum_{j=1}^{N} m_j z_j / \sum_{j=1}^{N} m_j, \tag{1}$$

где m_j и x_j —соответственно количество атомов в элементарной ячейке и электроотрицательность элемента j. Для всех этих соединений значения x находились в интервале 2,5—2,6. При расчетах мы пользовались значениями электроотрицательности элементов, приведенными в [3].

Известно, что в состав ВТСП соединений входят элементы с переменной валентностью. В зависимости от условий синтеза в сверхпроводнике может меняться содержание катионов с определенной валентностью, в частности, соотношение катионов Cu^+ , Cu^{2+} , Cu^{3+} . При этом, в соответствии с требованием электронейтральности, меняется и число анионов в элементарной ячейке. С другой стороны, электроотрицательность элемента находится в прямой функциональной зависимости от валентности. Рост валентности катиона на единичный заряд сопровождается увеличением электроотрицательности на величину 0,1 [3]. Очевидно, что изменение катионного состава отражается на значении средней электроотрицательности соединения.

Для выяснения функциональной связи между средней электроотрицательностью соединения и валентностью элементов, входящих в его состав, представим формулу соединения в следующем виде: $K_{n_1}^{v_1}K_{n_2}^{v_2}\cdots K_{n_j}^{v_j}A_{n_a}^{v_a}$, где v_j и n_j —валентность и количество в элементарной ячейке катионов, а v_a и n_a —аниона. Требование электростатической нейтральности соединения при данных обозначениях можно представить уравнением $\sum_{j=1}^{N} n_j v_j = n_a v_a$. Исходя из (1), для величины средней электроотрицательности соединения, содержащего элементы с переменной валентностью, получим выражение

$$x = \sum_{j=1}^{N} n_j \left(x_j + x_a \frac{v_j}{v_a} \right) / \sum_{j=1}^{N} n_j \left(1 + \frac{v_j}{v_a} \right). \tag{2}$$

Сопоставляя выражение (2) с требованием х=2,5—2,6, можно определить те значения валентности катионов, при стабилизации которых проявление соединением сверхпроводящих свойств становится наиболее вероятным.

Выражение (2) может быть использовано при поиске новых сверх-проводящих соединений. В данном случае как неизвестных параметр

выбирается n_j , то есть стехиометрия соединения. Следует отметить, что наиболее вероятные значения валентности v_j катионов в данном случае определяются с помощью других закономерностей. В частности, требование перовскитоподобности решетки накладывает определенные ограничения на межионные расстояния в элементарной учейке [8], что, в свою очередь, позволяет определить наиболее вероятные значения v_j .

Нами на основе выражения (2) составлена компьютерная программа, позволяющая вычислять те изменения состава соединения, при которых средняя электроотрицательность остается в требуемом интервале. В качестве примера приведем несколько составов структурного типа '1212' с одной переменной: $Hf_{1-x}Cu_xSr_2CaCu_2O_y$ (0<x<0,65), $Bi_{1-x}Pb_xSr_2CaCu_2O_y$ (0,2<x<0,8), $Cu_{1-x}In_xSr_2CaCu_2O_y$ (0,4<<x<0,8), $Cu_{1-x}In_xBa_2CaCu_2O_y$ (0,6<x<0,8).

Можно утверждать, что в отличие от некоторых других закономерностей (в частности, возрастание критической температуры с увеличением числа слоев меди в элементарной ячейке) корреляция между средней электроотрицательностью соединений и сверхпроводимостью прошла проверку временем. Приведенные примеры для случая одной переменой в составе показывают целесообразность использования рассматриваемой корреляции, так как значительно сокращается область поиска новых ВТСП соединений. Причем, в случае наличия в составе двух или более переменных сокращение области поиска более значительно. Это обусловлено тем, что требование нахождения величины средней электроотрицательности в интервале 2,5—2,6 ограничивает определенную область изменения состава в пространстве с размерностью, соответствующей числу переменных. Поэтому нам кажется, что учет корреляции сверхпроводящих свойств со средней электроотрицательностью необходим при поиске новых ВТСП соединений.

Работа выполнена в рамках утвержденной Министерством образования и науки РА темы № 94—738.

ЛИТЕРАТУРА

- 1. C. W. Chu. Preprint № 96: 109, Texas Center for Superconductivity, 1996.
- 2. K. A. Muller. Physica Scripta, T35, 9 (1991).
- С. С. Бацанов. Электроотрицательность и эффективные заряды атомов. М.: Знание, 1971.
- С. С. Бацанов. Электроотрицательность элементов и химическая связь. Изд. СО АН СССР, 1962.
- 5. D. A. Napela and J. M. McKay. Phisica C, 158, 4425 (1989).
- 6. М. А. Субраманьян. Сверхпроводимость: физ., хим. тех., 3, 175 (1990).
- 7. R. Asokamani and R. Mangula. Phys. Rev. B, 39, 4217 (1989).
- 8. Н. Е. Алексеевский, А. В. Митин, Г. М. Кузьмичева, Т. Н. Тарасова, Е. П. Хлыбова, В. В. Евдокимов. Сверхпроводимость: физ., хим., тех., 2, 60 (1989).

AVERAGE ELECTRONEGATIVITY AS A UNIVERSAL PARAMETER FOR HIGH-TEMPERATURE SUPERCONDUCTORS CHARACTERIZATION

V. R. KALASHYAN, A. S. KUZANYAN, T. M. PARONYAN, V. R. NIKOGHOSYAN

Basing on the calculations of the average electronegativity of a large number of high-temperature superconductors it is confirmed that this value must be in the range between 2,5—2,6. With account of this, a simple mathematical formula is offered allowing to determine the range of the chemical composition variation of complex oxides within which superconducting compounds may occur.

ՄԻՋԻՆ ԷԼԵԿՏՐԱԲԱՑԱՍԱԿԱՆՈՒԹՑՈՒՆԸ ՈՐՊԵՍ ԲԱՐՁՐ ՋԵՐՄԱՍՏԻՃԱՆԱՑԻՆ ԳԵՐՀԱՂՈՐԴԻՉՆԵՐԸ ԲՆՈՒԹԱԳՐՈՂ ՈՒՆԻՎԵՐՍԱԼ ՊԱՐԱՄԵՏՐ

4. A. PULLUTBUR, U. U. HARQUEBUR, P. U. MURARBUR, 4. A. ERHAGAUBUR

Հիմնվելով մեծ քանակությամբ բարձր չերժաստիճանային գերհաղորդիչ միացությունների միջին էլեկտրարացասականության հաշվարկման վրա հաստատված է, որ այն անհրաժեշտարար գտնվում է 2,5—2,6 տիրույթում։ Այդ հիման վրա, առաջարկվել է պարզ մաթեմատիկական արտահայտություն, որը թույլ է տալի որոշել բարդ օքսիդների քիմիական բաղադրության փոփոսության այն տիրույթը, որտեղ կարող են գտնվել գերհաղորդիչ միացությունները։

ИЗМЕРЕНИЕ МАЛЫХ ИЗМЕНЕНИЙ РАЗНОСТИ ФАЗ В СВЧ ДИАПАЗОНЕ

А. Г. ГУЛЯН, Г. А. ДВОЯН, Р. М. МАРТИРОСЯН, Г. А. ПИРУМЯН

Институт радиофизики и электроники НАН Армении

- (Поступила в редакцию 26 января 1996 г.)

Предложен метод измерений разности фаз в диапазоне СВЧ. Показано, что измерители с применением данного метода обладают высокой чувствительностью и работоспособны при произвольном изменении амплитуд входных СВЧ сигналов.

В голографических и в ряде других задач часто возникает необходимость в оценке фазовой стабильности разных активных СВЧ четырехполюсников, т.е. необходимость измерять малые изменения (ϕ <0.1°) разности фаз в СВЧ диапазоне.

Измерители с применением умножения частоты входных сигналов имеют следующие характерные недостатки: малая точность измерения из-за значительных фазовых флуктуаций умножителей, низкая чувствительность даже при сравнительно малых значениях коэффициента умножения; перевод рабочего диапазона измерения разности фаз на более высокий диапазон частот, где реализация таких измерителей более трудоемкая. Измерители, основанные на других методах построения [1, 2], годны только при постоянстве и равенстве амплитуд входных СВЧ измеряемых сигналов. Кроме того, в этих измерителях амплитуда входного полезного сигнала уменьшается в m^2 рази потому для многих практических задач их чувствительность оказывается недостаточной (m—кратность умножения).

Из анализа вышеизложенных недостатков становится очевидным, что при построении новых видов измерителей малых изменений разности фаз необходимо обеспечить выполнение следующих основных условий: независимость коэффициента умножения разности фаз от амплитуд входных сигналов; возможность применения измерителей при измерениях сравнительно малых порогов СВЧ входных сигналов; сбеспечение перевода измерения разности фаз с СВЧ диапазона в низкочастотный, где ее измерение намного проще.

Блок схема такого измерителя приведена на рис. 1.

На входы измерителя подаются измеряемый $\dot{E}_{\rm H}$ — $E_{\rm H}$ ехр $[j(\omega t + \varphi_{\rm H})]$ и опорный $\dot{E}_{\rm 0}$ — $E_{\rm 0}$ ехр $[j(\omega t + \varphi_{\rm 0})]$ СВЧ сигналы, которые модулируются по фазе коммутаторами 2 и 3 с двумя значениями фазовых индексов $_{\rm 0}$ 0° и $_{\rm N}\pi/2$ ° по законам:

$$f_{1}(t) = \begin{cases} -j, & \text{при } -\pi + 2\pi n < 2t < \beta + 2\pi n \\ 1, & \text{при } \beta + 2\pi n < \Omega t < \pi + 2\pi n \end{cases}$$

$$f_{2}(t) = \begin{cases} -j, & \text{при } -\beta + 2\pi n < \Omega t < \pi + 2\pi n \\ 1, & \text{при } -\pi + 2\pi n < \Omega t < -\beta + 2\pi n \end{cases}$$
(1)

где Ω —циклическая частота модуляции, β —некоторый постоянный угол в пределах $0 \div \pi/2$, а n—целое число.

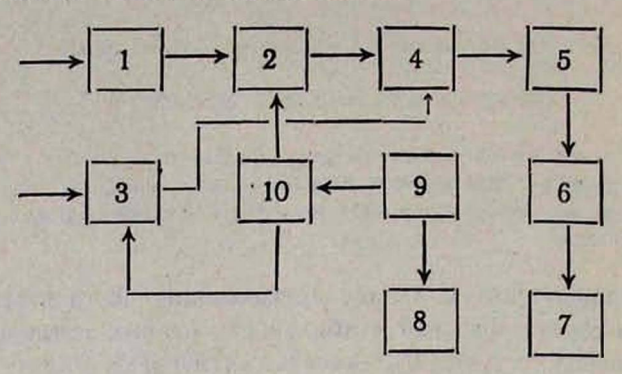


Рис. 1. Блок-схема измерителя.

Виды законов модуляции коммутатора $2 f_1(t)$ и коммутатора $3 f_2(t)$ приведены на рис. 2(a, 6). Модулированные входные сигналы суммируются в сумматоре 4 и через СВЧ усилитель 5 подаются на вход СВЧ квадратичного детектора 6.

Напряженность сигнала на входе квадратичного детектора имеет вид

$$\dot{E} = \frac{\sqrt{2}k_1e^{j\theta}}{2} \left(f_1(t)f_2(t) \right) \left(\frac{\dot{E}_{ii}}{\dot{E}_0} \right), \tag{2}$$

где k_1 —коэффициент усиления усилителя СВЧ, θ —некоторая фаза, вносимая СВЧ усилителем.

На выходе СВЧ детектора величина низкочастотного сигнала будет

$$U_{z} = \alpha \dot{E}E, \tag{3}$$

где α—некоторый постоянный коэффициент, зависящий от параметров СВЧ детектора.

Учитывая (1) и (2), из выражения (3) получим значение детектированного напряжения

$$U_{x} = \begin{cases} M, & \text{при } -\pi + 2\pi n < 2t < -\beta + 2\pi n \\ N, & \text{при } -\beta + 2\pi n < 2t < \beta + 2\pi n \end{cases}, \tag{4}$$

$$S, & \text{при } \beta + 2\pi n < \Omega t < \pi + 2\pi n \end{cases}$$

где

$$M = \frac{\alpha k_1^2}{2} (E_0^2 + E_R^2 + 2E_0 E_R \sin \varphi),$$

$$N = \frac{\pi k_1^2}{2} (E_0^2 + E_u^2 + 2E_0 E_u \cos \varphi), \tag{5}$$

$$S = \frac{\pi k_1^2}{2} (E_0^2 + E_u^2 - 2E_0 E_u \sin \varphi),$$

φ=
φ_нφ₀
— разность фаз между входными сигналами.

Вид огибающей напряжения $U_{\rm J}$ на выходе квадратичного детектора показан на рис. 2(в).

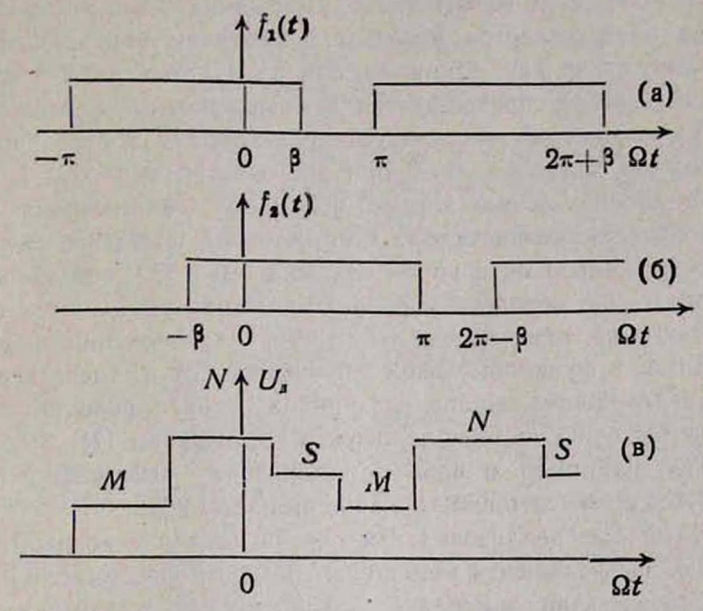


Рис. 2. Фазовременные диаграммы модулирующих напряжений.

С выхода СВЧ детектора сигнал подается на вход НЧ усилителя, настроенного на циклическую частоту модуляции Ω. Выполнив несложное для данного случая фурье-преобразование [3], на выходе НЧ усилителя получаем усиленную первую гармонику сигнала:

$$U = \frac{2\sqrt{2}\alpha k_1^2 k_2 E_u E_0}{\pi} \sqrt{\frac{\cos^2 \varphi + m^2 \sin^2 \varphi}{m^2 + 1}} \cos[\Omega t - \arctan(m t g \varphi)], \quad (6)$$

где k_2 -коффициент усиления НЧ усилителя, $m = \text{ctg} \frac{\beta}{2}$ -параметр, зависящий от скважности модулирующих импульсов.

Подавая это напряжение вместе с опорным низкочастотным напряжением на входы НЧ фазометра, на его выходе будем иметь показание $\Phi = \operatorname{arctg}(m \operatorname{tg} \varphi)$.

Коэффициент умножения разности фаз будет:

$$k_{\varphi} = \frac{d\Phi}{d\varphi} = \frac{m}{\cos^2\varphi + m^2\sin^2\varphi} \ . \tag{7}$$

Из выражения (7) следует, что максимальное значение коэффициента умножения разности фаз имеет место при значениях Таким образом, измеритель малых изменений разности фаз может работать лишь в малых областях вокруг дискретных точек. удовлетворяющих условию (8), которое обеспечивается при помощи регулируемого плавного фазовращателя 1 (рис. 1).

Из выражения (7) следует, что коэффициент умножения разности фаз не зависит от амплитуд входных СВЧ сигналов.

Необходимый коэффициент умножения разности фаз при этом методе обеспечивается простым изменением скважности модулирующих импульсов. Так, например, при $\beta=1.4^{\circ}$ m=81, а при $\beta=90^{\circ}$ m=1, г. е. измеритель превращается в обыкновенный линейный фазометр.

Из выражения (6) следует, что амплитуда полезного сигнала—переменная величина даже при постоянстве амплитуд входных сигналов. В рабочих точках $\sin \phi \to 0$ и при больших значениях коэффициента умножения разности фаз m амплитуда полезного сигнала обратно пропорциональна m, а не m^2 как, скажем в [1], где дополнительно необходимо еще обеспечить равенство амплитуд входных сигналов.

Как уже отмечалось, коэффициент умножения фазового сдвига находится в функциональной зависимости от ф, следствием чего является нелинейность шкалы фазометра, однако величину нелинейности шкалы нетрудно оценить, пользуясь выражением (7).

Так, например, в рабочем диапазоне —0.2 \leqslant ϕ \leqslant 0.2 при значении $m \approx 81$ нелинейность шкалы не превышает 1,2%.

Нами был реализован измеритель на длине волны 1.35 см со значениями коэффициента умножения разности фаз $m_1 \approx 40.7$ и $m_2 \approx 81$. Он апробирован для измерения фазовременных характеристик двухканального параметрического усилителя САО АН РФ при решении радиоголографических задач в составе радиотелескопа «РАТАН-600» [4].

ЛИТЕРАТУРА

- 1. Э. Г. Мирзабекян, Р. Н. Симонян. Изв. АН Армении, Физика, 6, 409 (1971).
- Ю. А. Скрипник. Модуляционные измерения параметров сигналов и цепей. М., «Сов. радно», 1975.
- 2. А. Анго. Математика для электро и радиониженеров. Москва, «Наука», 1964.
- G. A. Dvoyan, H. A. Piroumian, V. B. Khaikin. Measurement of phase characteristic for two-channel parametric amplifier at 22 GHz. Nizhnij Arkhys, sep. 1990.

SMALL PHASE DIFFERENCE MEASUREMENT IN THE MICROWAVE RANGE

A. G. GOULIAN, G. A. DVOYAN, R. M. MARTISOSSIAN, H. A. PIROUMIAN

A new method of small phase difference measurement in the microwave range is suggested in the paper. The measurements with using this method are shown to be highly sensitive and operating under arbitrary variation of input amplitude.

CONTENTS

D. H. Badalian, V. M. Gasparian, R. M. Abrahamian, A. Gh. Khachatrian. On thermodynamics of Heisenberg's model in one-dimensional quasiperiodical	
structures	119
M. L. Ter-Mikaelyan. Quasiclassical approximation in time	125
A. S. Gasparian, E. M. Kazarian. On the theory of impurity states in the ellipsoidal	
microcrystals	130
G. L. Areshian. Basic equations of electromagnetodynamics and two cases of	
their application	137
M. A. Navasardyan, H. S. Semergian, R. Tz. Gabrielian. Excitation of K- and	
L-levels of atoms by modulated X-ray beams	144
G. A. Vardanian, A. H. Gevorgian, J. H. Ninojan. Some optical properties of media	
with helical dichroic structure	150
V. R. Kalashyan, A. S. Kuzanyan, T. M. Paronyan, V. R. Nikoghosyan. Average	
electronegativity as a universal parameter for high-temperature superconduc-	
tors characterization	157
A. G. Goulian, G. A. Dvoyan, R. M. Martirossian, H. A. Piroumian. Small phase	
difference measurement in the microwave range	161
<u></u> ԲՈՎԱՆ ԳԱԿՈՒԹ ՅՈՒՆ	
⁴ . Հ. Բադալյան, Վ. Մ. Գասպարյան, Ռ. Մ. Աբրանամյան, Ա. Ժ. Խաչատրյան.	
Միաչափ քվազիպարբերական ստրուկտուրաների Հայզենբերգի մոդելի թերմոդինա-	
միկայի մասին	119
Մ. Լ. Տեր-Միքայելյան, Քվազիդասական մոտավորությունը ժամանակային տարա-	
ծության մեջ	125
Ա. Ս. Կասպարյան, Է. Մ. Ղազարյան. Էլիպսոիդային միկրոբյուրեղներում խառ-	
նուրդային վիճակների տեսության մասին	130
Գ. Լ. Արեշյան. Էլեկտրամագնիսադինամիկայի հիմնական հավասարումները և նրանց	
կիրառման երկու դեպքը	137
Մ. Ա. Նավասարդյան, Հ. Ս. Սերմերջյան, Ռ. Ց. Գաբրիելյան. Ատոմների K և L	
մակարդակների գրգռումը մոդուլված ռենտգենյան փնջերի միջոցով	144
Կ. Ա. Վարդանյան, Ա. Հ. Գևորգյան, Ժ. Հ. Նինոյան վ Դիբրոիկ պարույրային կա-	
ռուցվածք ունեցող միջավայրերի որոշ օպտիկական հատկությունների մասին .	150
Վ. Ռ. Քալաշյան, Ա. Ս. Կուզանյան, Թ. Մ. Պարոնյան, Վ. Ռ. Նիկողոսյան. Միջին	
էլեկտրաբացասականությունը որպես բարձր ջերմաստիճանային գերհաղորդիչնե-	
րը բնութագրող ունիվերսալ պարամետր	157
Ա. Գ. Վուլյան, Գ. Ա. Դվոյան, Ռ. Մ. Մարտիրոսյան, Հ. Ա. Փիրումյան. ԳԲՀ տի-	101
րույթում փուլերի տարբերության փոքր փոփոխությունների չափում	161

Технический редактор В. Д. СТЕПАНЯН

Сдано в набор 6.12.96 г. Подписано к печати 23.04.97 г. Формат 70×108¹/₁6. Бумяга № 1, «сыктывкарская». Высокая печать. Печ. лист. 3. Усл. печ. лист. 4,2. Усл. кр. отт. 4,5. Тираж 200. Заказ 22. Издат. 7952. Цена договорная.

Издательство «Гитутюн» НАН РА, 375019, Ереван-19, пр. Маршала Баграмяна, 24-г. Типография Издательства НАН Армении, 378410, г. Аштарак. [500 707]

<u>НУК 415</u> 1997, h 32 m 3 Индекс 77709

СОДЕРЖАНИЕ

Д. А. Бадалян, В. М. Гаспарян, Р. М. Абрамян, А. Ж. Хачатрян. О термодина-	
мике модели Гейзенберга в одномерных квазипериодических структурах .	119
М. Л. Тер-Микаелян. Квазиклассическое приближение во временном простран-	
стве	125
А. С. Гаспарян, Э. М. Казарян. К теории примесных состояний в эллипсои-	
дальных микрокристаллах	130
Г. Л. Арешян. Основные уравнения электромагнитодинамики и два случая	
선물님은 회사님은 전에서 발표하면 경험을 하는 경험을 하는 이 경험을 하는 것이 없는 것이 없는 것이 없는 것이다. 그렇게 되었다면 가장이 없는 것이 없는 것이다.	137
М. А. Навасардян, О. С. Семерджян, Р. Ц. Габриелян. Возбуждение К и L	
	144
Г. А. Варданян, А. А. Геворгян, Ж. О. Ниноян. О некоторых оптических свойст-	
	150
В. Р. Калашян, А. С. Кузанян, Т. М. Паронян, В. Р. Никогосян. Средняя элек-	100
троотрицательность как универсальный параметр, характеризующий высо-	
	157
котемпературные сверхпроводники	107
А. Г. Гулян, Г. А. Двоян, Р. М. Мартиросян, Г. А. Пирумян. Измерение ма-	
лых изменений разности фаз в СВЧ диапазоне	161